

00000761

LA FACADE MARITIME DU SINE-SALOUM :  
ETUDE DESCRIPTIVE DU MILIEU,  
ANALYSE DES PECHERIES ET POTENTIALITES

PAR  
DHAOUI SLAHEDDINE

o

RAPPORT INTERNE

N° 7

## Résumé

Le rapport comporte une étude descriptive de la zone, une revue bibliographique des pêcheries existantes et un essai d'appréciation des possibilités.

Les espèces pélagiques sont de loin les plus abondantes. *Sardinella* *mediterranea*, *S. maderensis*, *Elmulusa fimbriata*, *Brachydeuteres surilis*, *Merluccius chrysurus* et les chinchards sont les principales espèces de la zone. Les principales espèces demersales de la région sont *Pagrus caupus*, *Merluccius pagrus*, le cyprinogode (sicle et palpe), *Pagrus chrysops*, *Merluccius*, *Epiplatys*, *Epiplatys*, *Ameiurus* sp., *Ameiurus* sp., *Dasyatis*, *Merluccius mediterraneus*. Il est à remarquer, que *Elmulusa fimbriata*, *Merluccius chrysurus* et *Merluccius surilis* sont plus abondants dans la zone de Sidi-Salman que partout ailleurs sur la petite côte. Le fait, que la zone étudiée de cette zone avec la petite côte, constitue une unité géographique, justifiant l'interdiction de la pêche dans cette zone. L'abondance des différentes espèces présente des variations en raison de la variabilité saisonnière. Ces variations ont été précisées pour plusieurs espèces (*Sardinella aurita*, *Epiplatys*, *Merluccius* etc...); elles restent à préciser pour d'autres espèces (par exemple *Merluccius*, *Pagrus* etc...). L'étude de la phénologie de la zone d'évolution des différentes espèces dans leurs milieux de vie, en fonction des variations hydroclimatiques. Sur le plan pratique, la phénologie saisonnière permet de préciser les périodes d'abondance de certaines espèces, en un lieu donné, et donc une orientation relative de l'exploitation.

L'analyse des pêcheries existantes relève la supériorité de la pêche artisanale et ceux de la pêche industrielle, ultérieurement, il faut envisager des débarrasements de la pêche artisanale pélagique, en ce que la limite de capture de biomasses tendra à être atteinte, et que les potentiels de production se voient, par conséquent, réduits, il convient de les prendre en considération au moment de l'exploitation.

En admettant ce potentiel et en tenant compte des possibilités de

de la prudence. Par suite, des espèces peu mélangées et abondantes de  
ce genre, *Brachydeutans*, *Cilioscopus elongatus*, ont manifesté  
un surplus d'effort et fournissent justifié une circulation  
abondante vers elle.

LA FACADE MARITIME DU SINC-SALOUH :  
ETUDE DESCRIPTIVE DU MILIEU ,  
ANALYSE DES PECHERIES ET POTENTIALITES

RAPPORT DE STAGE

DHAQUI SLAHEDDINE

Je voudrais au début de ce travail, remercier le Directeur  
général de l'UNRSTM de m'avoir permis de continuer ma formation.

Mes remerciements vont également à Monsieur le Directeur  
de la Recherche Scientifique et Technique de la République  
Sénégalaise pour m'avoir accueilli lors de mon stage de doctorant  
à l'Institut de Recherches Géodésiques de Dakar-Thiaroye.

Je remercie Monsieur S. GARCIA, Directeur de l'IRG, pour sa  
bienveillance, pour avoir bien voulu accepter de me diriger  
pendant ce stage.

Mes remerciements vont aussi à Monsieur B. CHEBANI, à  
Monsieur F. THOMAS et Monsieur P. FREON pour la patience qu'ils  
m'ont montrée à mon égard pour me faciliter la tâche.

Enfin, je remercie particulièrement les chercheurs, les  
collègues et le personnel du CRIST, ainsi que les officiers de  
la CG N° 5 "Laurent AMARU".

## P L A N

INTRODUCTION	
1. ENVIRONNEMENT PHYSIQUE	p 1
1.1. Climatologie	
1.1.1. Les vents	
1.1.2. Les pluies	
1.1.3. Les températures de l'air	
1.2. Hydrologie	
1.2.1. Les saisons hydrologiques	
1.2.2. Les houles	
1.2.3. Les courants	
1.2.4. La marée	
1.2.5. Les cours d'eau	
1.3. Couverture sédimentaire	
2. ETUDE SPECIFIQUE	p 8
2.1. Origine des données	
2.2. Les méthodes d'échantillonnage	
2.2.1. Des campagnes scientifiques de référence	
2.2.2. Des campagnes scientifiques dans le Sine-Saloum	
2.3. Composition, répartition et variations spécifiques	
2.3.1. Considérations générales	
2.3.2. Les espèces pélagiques	
2.3.3. Les espèces démersales	
3. LES PECHERIES EXISTANTES	p 22
3.1. La pêche artisanale	
3.1.1. Origine des données	
3.1.2. L'effort de pêche	
3.1.3. Les débarquements	
3.2. La pêche industrielle	
3.2.1. La pêche industrielle pélagique	
3.2.2. La pêche industrielle démersale	
3.3. Conclusion	
4. POTENTIALITES	p 38
4.1. Les méthodes d'évaluation du potentiel	
4.2. Essai d'application de la méthode directe	
4.3. Les tendances évolutives	
4.4. Biomasses	
4.5. Conclusion	
CONCLUSION	

## I N T R O D U C T I O N

Le Sénégal, possède une longue façade maritime baignée par une mer riche en poissons par ses plaines d'upwelling et par des apports fluviaux. Il en résulte une abondance particulière de poissons.

Poisson, source majeure d'apport protéique au Sénégal, constitue, en outre, une ressource économique importante pour le pays.

Depuis 1965, on assiste à l'essor du secteur de la pêche, stimulé par une augmentation de la pêche et sa diversification. Parallèlement, sa régionalisation est envisagée. Le projet de création d'un port de pêche de Djiffère, à l'embouchure du fleuve Sine-Saloum, est issu de cette expérience.

La régionalisation de la pêche, suppose une connaissance préalable des ressources disponibles et une planification de leur exploitation.

Le présent travail, est une approche de l'étude de la façade maritime du Sine-Saloum qui comportera :

- une étude descriptive du milieu ;
- une analyse des pêcheries existantes ;
- un essai d'estimation des potentialités de la zone.

La région marine du Sine-Saloum, située sur la côte ouest du Sénégal, objet d'étude de ce travail, a été circonscrite au Sénégal. Elle correspond à la frontière sénégambienne (13°30' N) au sud, à la latitude de Joal au nord (14°10' N) et sur la totalité du plateau continental. La zone ainsi limitée couvre une superficie de 1440 milles carrés (carte 1).

## 1. ENVIRONNEMENT PHYSIQUE

### 1.1. CLIMATOLOGIE

Le Sénégal est situé dans la zone de déplacement en latitude de la dépression cyclonale. Les déplacements de celle-ci entraînent des variations des divers éléments du climat (ROSSIGNOL et al., 1965).

#### 1.1.1. Les vents

Elle sont les principaux facteurs de la dynamique des masses d'air. Les vents dominants sont les vents de secteur nord (les alizés) au nord de la dépression cyclonale, et au sud, les vents de secteur est-sud-est-sud-ouest.

Les vents de secteur nord, du fait de la position de la dépression cyclonale, s'installent sur les côtes sénégalaises d'octobre à décembre, puis régulièrement jusqu'au mois de février. Leur maximum se situe en mars-avril. Puis, ce sont les vents de secteur est-sud-est-sud-ouest qui arrivent, plus ou moins régulièrement, plus ou moins intenses, jusqu'en novembre-décembre (ROSSIGNOL et al., 1965).

#### 1.1.2. Les pluies

Elles sont essentiellement estivales. Elles débutent en septembre et durer jusqu'à novembre-décembre ; leur maximum se situe en août. Cette saison des pluies est plus précoce dans les régions continentales (fig. 1).

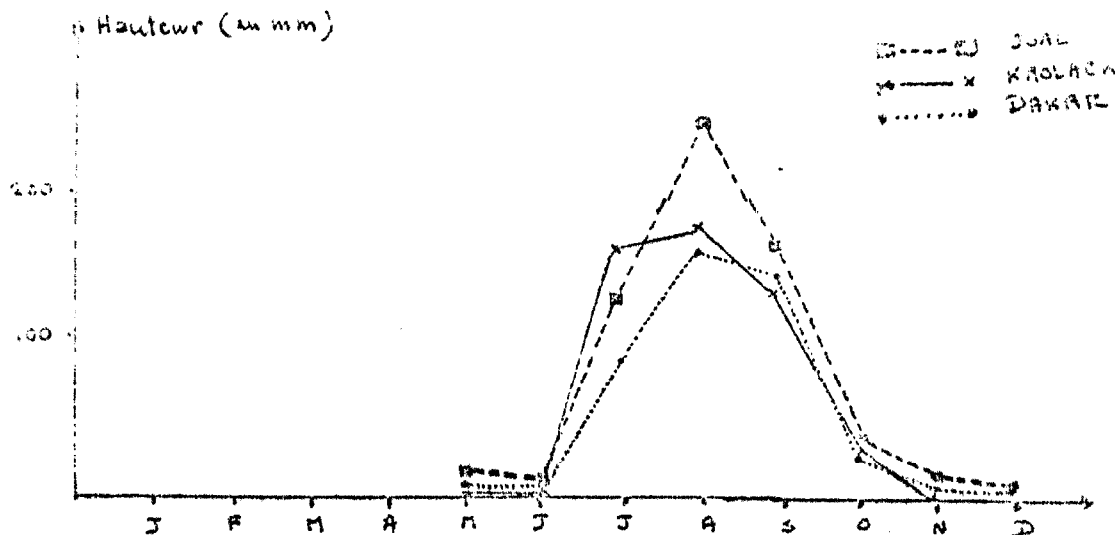
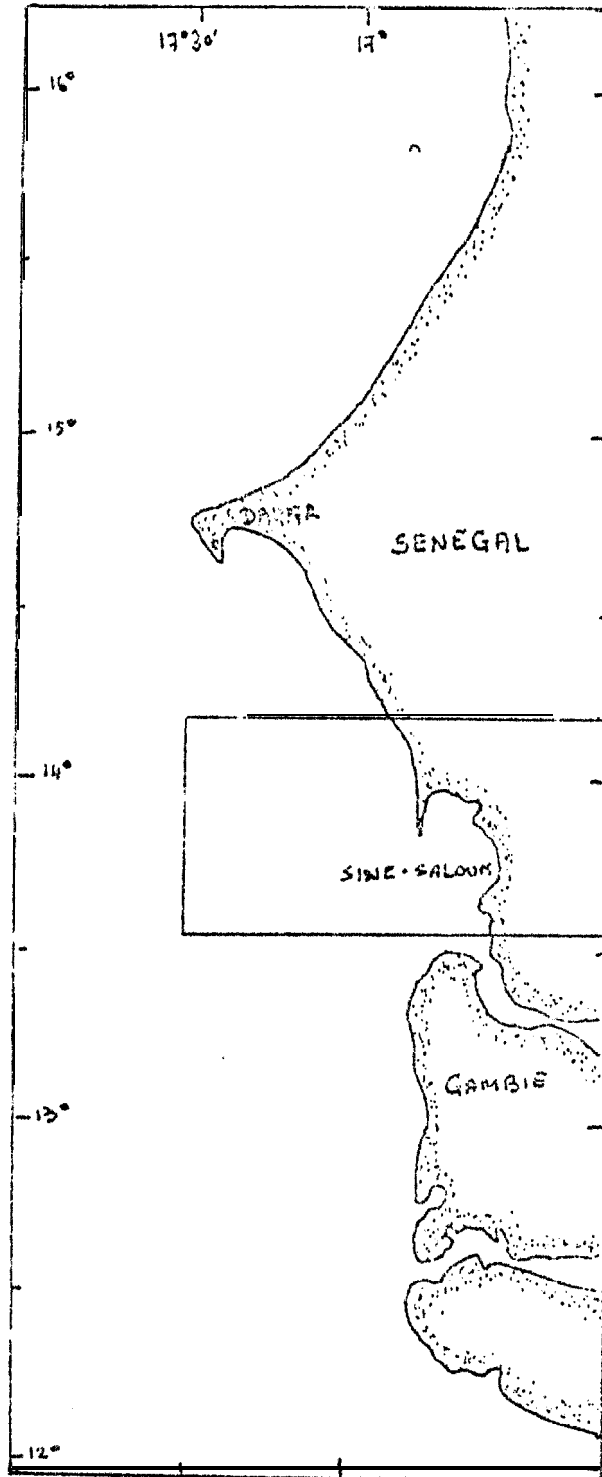


Fig. 1 : Pluviométrie (moyennes générale 1973-1975) à JOAL - KASLACK et DAKAR.



Carte n° 1 :  
Localisation de la zone  
du Sine-Saloum.

### 1.7.1. Les températures de l'air

On distingue deux saisons. L'été s'étend de juillet à septembre et finit en janvier à mai. Cependant, dans la région du littoral, les températures restent élevées toute l'année ; les températures les plus élevées sont relevées en juin, les plus basses en janvier. Une baisse des températures est également notée en octobre (fig. 2).

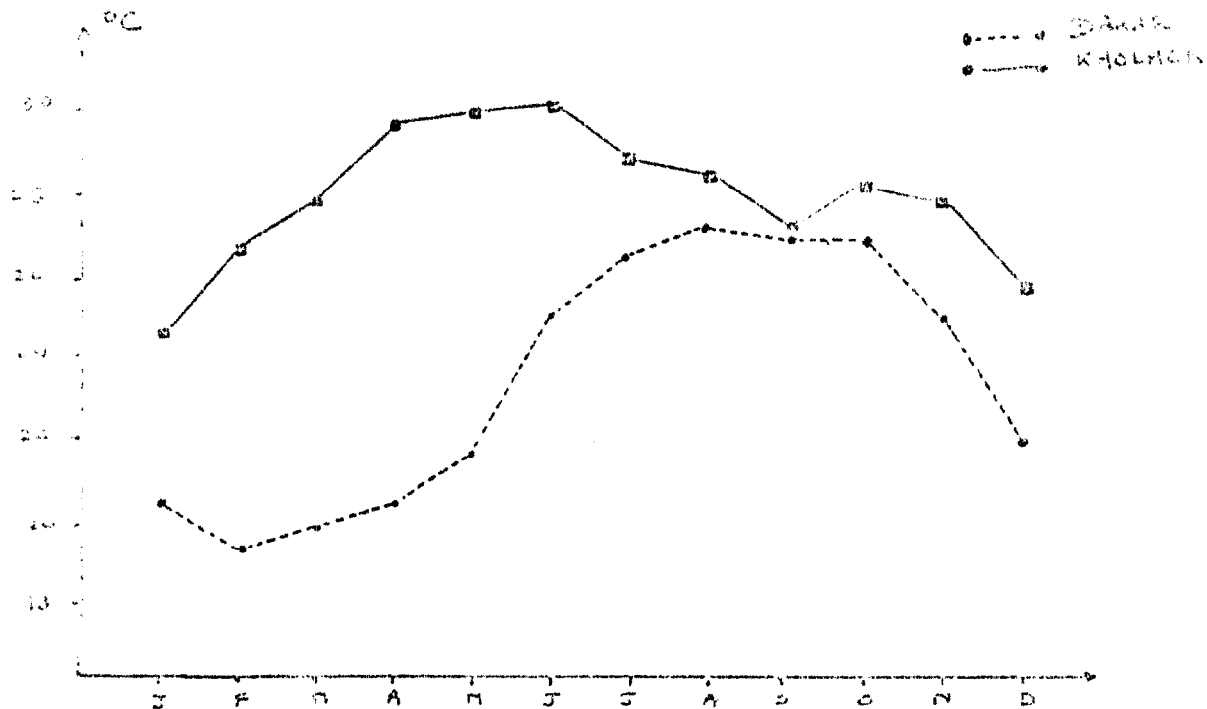


Fig. 2 Température de l'air (moyennes générales 1961-1970) en °C DAKAR et KAOULACK.

## 1.7. HYDROLOGIE

### 1.7.1. Les saisons hydrologiques

On distingue deux saisons hydrologiques :

- une saison froide et longue, s'étendant de janvier à mai, au cours de laquelle le plateau continental se trouve à l'égard par les eaux méditerranéennes froides et salées (température inférieure à 21° C et salinité supérieure à 35 ‰).

- une saison chaude s'étendant de juin à octobre, au cours de laquelle le plateau continental est baigné successivement par les eaux équatoriales chaudes et salées (température supérieure à 24° C et salinité supérieure à 35 ‰) et les eaux guinéennes, chaudes et turbides (température supérieure à 24° C et salinité inférieure à 35 ‰).

Deux périodes de transition séparent les deux saisons, pendant lesquelles la température de l'eau passe rapidement de 20° à 26° C et vice versa (fig. 3).

Il est à souligner que les alizés pendant la saison froide, en agitant les eaux superficielles, provoquent une remontée d'eaux profondes riches en sels nutritifs (phénomène d'upwelling).

Pendant la saison froide, les eaux sont relativement plus chaudes à l'aval de l'embouchure du Sine-Saloum ; pendant la saison des

... une dessalure importante s'y produit (fig. 3).

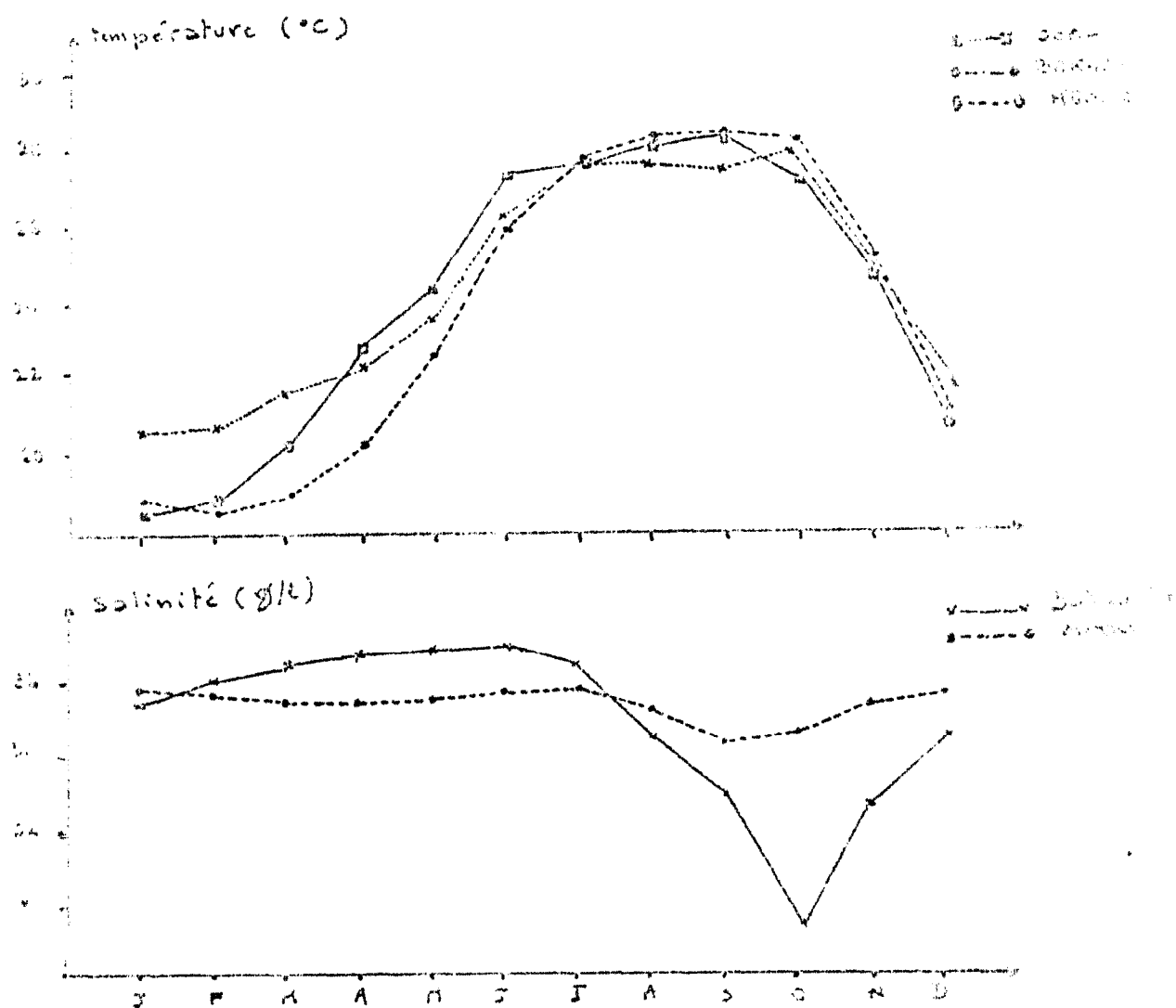


Fig. 3 température et salinité de surface.  
(moyenne <sup>(A)</sup> générale <sup>(B)</sup> 1973-1975)

### 1.2.2. Les houles

Deux types de houles exercent leurs actions sur la côte de la région de Sine-saloum. La houle du nord, dont l'action est la plus importante, donne naissance à une d'rive littorale causant le trouble de la répartition des sédiments le long de la pointe de Siguiri. La houle du sud-ouest, dont l'effet est moins marquant, joue surtout dans la dispersion vers le nord des éléments solides apportés par le fleuve Gambie (OICP S., 1975).

### 1.2.3. Les courants

Pendant les périodes d'analyse, le courant de surface est stable et porte du sud-est, de Dakar à la Gambie. Il est plus fort au large ; sa vitesse est alors de un nœud.

de la saison chaude, le courant de surface peut être inversé et se déplacer vers le nord en juin et août et à alors une vitesse de 2,5 nœuds ; son sens et sa vitesse deviennent ensuite variables pendant le reste de la saison chaude (DUMAIN J., 1977 )

1.2.4. Le marée

Le marée est de type semi-diurne, avec un marée moyen de 1 m. Les amplitudes de marée sont généralement faibles et de l'ordre de 0,5 à 1 m (REBERT J.P. et al., 1974).

1.2.5. Les cours d'eau

1.2.5.1. le Saloum

Le Saloum est une ria (MARTIN C., 1974). Ses apports d'eau proviennent uniquement des eaux de ruissellement dans certains secteurs de la saison chaude. Le débit au niveau de l'embouchure est nul pour le reste de l'année, l'évaporation et par conséquent la salure des eaux qui se fait ressentir au niveau de l'embouchure.

1.2.5.2. la Gambie

Le débit cumulé est de 11 milliards de m<sup>3</sup>, d'où la dissipation due à la saison des pluies.

En plus une partie des particules en suspension arrivent à l'embouchure de ce fait, l'existence de phénomènes complexes dans le delta de la Gambie, l'écoulement des eaux de l'estuaire, la présence de bancs de sable et de ses dimensions exceptionnelles qui sont susceptibles d'être envahies par le marée peuvent y pénétrer successivement. Il semblerait que les sédiments à ce niveau ne s'écoulent pas tout de suite vers l'estuaire mais une série d'attées et d'écoulements vers l'intérieur de l'estuaire. Ceci augmenterait considérablement la période de sédimentation des particules en suspension et pourrait contribuer à la sédimentation dans l'estuaire (DUMAIN J., 1977 ).

Les raisons expliquent l'absence de sédiments vaseux devant l'embouchure du Sine-Saloum.

**1.3. COUVERTURE SEDIMENTAIRE**

Les différents facteurs de la sédimentation ont été examinés précédemment (les courants ; les houles ; les cours d'eau ; les vents et la marée)

On distingue les fonds durs et les fonds meubles :

- dans les fonds durs on distingue : - les bancs rocheux qui sont des zones rocheuses non couvertes de sédiments - et les zones de sables discontinues qui sont des zones où la roche affleure, en de certains endroits, la surface du sédiment (DUMAIN J., 1977 ).
- dans les fonds meubles : - les sables sont constitués de particules de 63 à 2000 µ ; - les sables vaseux sont des sables composés de 5 à 25 % de lutites, particules inférieures à 63 µ.

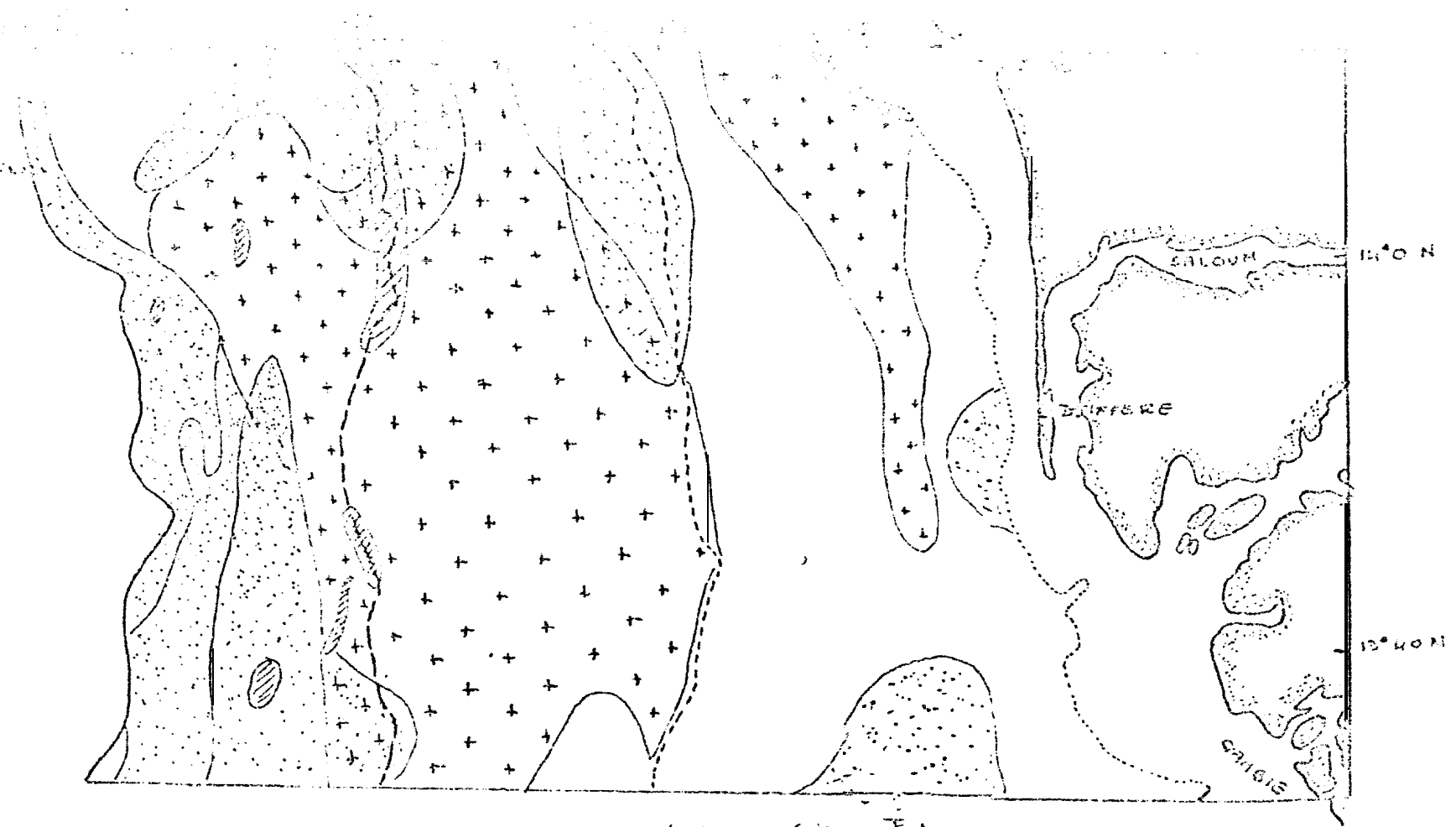
Dans la région marine du Sine-Saloum, les fonds de moins de -20 m et de plus de -50 m sont hétérogènes. Ils sont constitués par

On trouve au Sud de l'océan un grand nombre de bancs de sable et de vase, et des sables et des vaseux et des rochers discontinus. La surface est, en général, relativement régulière et continue, mais il y a des rochers discontinus.

On trouve en fond rochers étendus sur les parties fautes, et les rochers de Coal et s'étalant légèrement vers le sud.

Enfin, une faulaise roche se trouve à la latitude de Coal et est à l'altitude -50 m (carte 2)

-  zone rochesse discontinue
-  bancs rocheux
-  sable vaseux
-  sable



carte n°2 : Couverture sédimentaire



est utilisé habituellement pour des évaluations des abondances (D. HANLEY W.G., 1976 ; GROSSIEN R.O., 1974). Nous l'avons adapté à nos besoins, pour une étude plurispécifique de la zone de Sines-Silhan. L'évaluation de l'échantillon a été pondérale et non quadratique.

#### 2.2.2.2. Réalisation de l'échantillonnage :

La zone d'étude a été découpée en carré statistiques de trois mètres de côté. Ce type de découpage a été réalisé en fonction du nombre de traits de chalut nécessaire à l'obtention d'un échantillon représentatif de la population, au lieu et moment considérés, pour 20 minutes (DUMAIN F., 1972), et de la vitesse de chalutage (1,5 nœuds), -et de la précision ou positionnement du bateau (un mille près).

Les trois campagnes effectuées, correspondent sur la plan biologique à trois périodes : mai, période de transition saison froide-saison chaude ; septembre, saison chaude ; décembre, période de transition saison chaude-saison froide. Chacune des campagnes est considérée comme représentative de la saison pendant laquelle elle a été réalisée.

Avant le début de la première campagne, un échantillonnage au hasard a été effectué sur toute la zone. Or une stratification aléatoire de l'échantillon est possible (SICRAN C.W., 1969). Aussi, deux strates ont été déterminées en fonction des résultats de la première campagne et ont été retenues également pour les deux dernières campagnes (strate -5 à -20 m ; strate -20 à -50 m et strate -50 à -200 m). Pour les deux dernières campagnes, l'échantillonnage a été effectué séparément sur chaque strate retenue. En outre, la vitesse de chalut a été varié pour chacune d'elles, en fonction des résultats de la campagne précédente à chacune et ce, pour une précision plus élevée de l'erreur de l'échantillonnage.

Le nombre de traits de chalut, soit  $n$ , a été fixé par la relation

$$n = \left( \frac{2z\bar{s}}{\bar{x}.a} \right)^2 \quad \text{avec} \quad \bar{s} = \sqrt{\frac{\sum_{i=1}^k s_i^2}{k}}$$

où  $\bar{x}$  et  $s$  représentent la moyenne et l'écart-type de la zone de la campagne précédente celle considérée, et  $a$  la précision recherchée. Mais, en raison des risques d'invariance portés par une précision peu élevée, le nombre de traits de chalut a été élevé sur les fonds durs (strate -20 -50).

### 2.3. COMPOSITION, REPARTITION ET VARIATIONS SPECIFIQUES

#### 2.3.1. Considérations générales

L'existence de migrations saisonnières est maintenant avérée. La confirmation de ce phénomène a été faite pour certaines espèces de la côte ouest africaine en s'appuyant sur l'existence de variations saisonnières de l'abondance et sur leurs déphasages entre les différentes zones et, sur les variations saisonnières de la composition de taille des captures.

Dans la région du Sine-Saloum, les espèces les plus abondantes sont les espèces pour la plupart migratrices (*Sardinella mullu* ; *Engraulis mordax* ; *Sagallus asotus* ; *Spinichthys leucogaster* ; *Gerresia longirostris* ; *Parachanna jubelini* ; *Aphyrocheilichthys* spp.). Pour d'autres espèces abondantes dans la région du Sine-Saloum, l'existence de stock de semences n'a pas été établie ou c'est probable (*Chirocentrus muriei* ; *Sardinella maderensis* ; *Parasichthys orientalis*).

Les successions des maxima d'abondance des différentes espèces d'une année à l'autre est remarquablement stable et les variations de périodes d'apparition et de disparition pour une espèce donnée, en fonction des conditions hydrologiques, sont peu importantes.

L'adaptation des poissons à tirer le meilleur parti du cycle de production des eaux se traduit par la concentration des jeunes et des juvéniles dans les zones privilégiées où même en saison sèche on trouve toujours une assez grande abondance (embouchures de fleuves ; régions littorales persistantes) (CHAMBERSAT C. et al., 1978). Cela explique la présence particulière des jeunes et juvéniles dans le Sine-Saloum, qui constitue une nursery pour diverses espèces. En outre, les espèces pélagiques, vitées au début de la chaîne alimentaire, sont particulièrement abondantes dans la région du Sine-Saloum et sont vitées, essentiellement de jeunes.

### 1.3.2. Les espèces pélagiques

Elles sont les espèces les plus abondantes.

#### *Sardinella aurita* :

Les adultes effectuent des migrations de grande ampleur entre les biocènes et le nord de la Mauritanie. Leur présence sur la côte se fait en saison froide ; les périodes d'abondance sont février-janvier correspondantes à leur migration vers le sud et avril-mai à leur remontée vers le nord. Ils se nourrissent à 100-150 m et s'avancent jusqu'au milieu du plateau continental jusqu'en mai.

Les juvéniles et les jeunes se développent sur la partie médiane de la trille de 20-25 cm. Les juvéniles vivent dans les eaux littorales et les jeunes se répartissent entre -17° et -24° (SOLEY Y. et al., 1978).

#### *Sardinella maderensis* :

Elle existe en stock au sud du Cap Vert constituée en majeure partie de jeunes (SOLEY Y., 1978).

Elle migre sur les côtes sud sénégalaises, de la Casamance à la Côte d'Ivoire et à partir de mars vers le nord ; elle se ramène vers le sud en octobre (SOLEY Y., 1978). Elle est très abondante dans la région du Sine-Saloum entre mai et octobre.

#### *Sardinella fibriata* :

Elle vit dans le fleuve Gambie et l'estuaire du Sine-Saloum où elle est très abondante et effectue des migrations annuelles en saison chaude, à la faveur des crues. Elle est donc abondante dans

de la région du Sine-Saloum en saison chaude (BOELLY et al., 1973). Elle se répartit dans les eaux très côtières.

#### Paralichthys jubelini

Elle est abondante dans la région du Sine-Saloum une grande partie de l'année, du mois de mai au mois de décembre. (Fig. 4)

Cette espèce se répartit entre la côte et -30 m ; elle est surtout abondante entre -18 et -20 m ; en saison froide des captures importantes sont trouvées sur les fonds de -5 à -10 m.

#### Paralichthys tetracanthus

C'est une espèce côtière. Les maxima de rendements de pêche par les sardiniers dakarois sont obtenus en saison chaude, et les rendements les plus élevés sur l'ensemble de la petite côte sont obtenus dans la région du Sine-Saloum.

Cette espèce de faible valeur commerciale n'est pas exploitée sur le marché actuellement.

#### Tetracodon lineatus

Elle est trouvée dans la région du Sine-Saloum pendant la saison froide et en faible abondance.

Les adultes se répartissent sur le rebord du plateau continental et les jeunes de 10 à 25 cm, se répartissent entre 80 et 150 m de profondeur (BOELLY T. et al., 1973).

#### Tetracodon lineatus

Elle se répartit comme T. lineatus mais elle est plus abondante et son maximum d'abondance se trouve entre février et mai.

#### Tetracodon lineatus

Cette espèce est la plus abondante des sardiniers. Elle est abondante en saison froide dans la région du Sine-Saloum et elle forme de grandes bancs composés d'individus de 20 à 30 cm (entre février et mai). A partir de janvier et au large, des individus de plus de 30 cm sont trouvés.

#### Tetracodon lineatus auritus

Elle se répartit entre la côte et -75 m. Le maximum d'abondance est observé en saison froide au large de la Gambie et entre 0 et -20 m (BOELLY T. et al., 1977).

Cette espèce, bien qu'abondante, est peu exploitée sur le marché.

### 2.3.2. Les espèces démersales

Les espèces démersales peuvent être décomposées en trois groupes selon leurs répartitions bathymétriques : les espèces côtières, les espèces intermédiaires et les espèces profondes.

### 1.2. Les espèces ciliées

Elles correspondent à la communauté des Siphonocéphales et à l'absence de tout agoutar, le mollusque Symbium sp., l'éponge et les raies, la langouste.

Les espèces les plus importantes sont : Aequorea sp. ; ... ; Ocyropsis sp. et Dasyatis margarita.

#### Aequorea

Elle se répartit entre la côte et -60 m, extensivement dans l'espace. Il se concentre surtout entre la côte et -10 m ; elle est très dispersée (fig. 5).

Elle est trouvée en abondance toute l'année sur la zone de -10 m avec un maximum aux mois de mai et de juin.

#### Aequorea

Elle se répartit entre la côte et -90 m. Il se concentre surtout sur les fonds sable-vasseux, autour de l'embouchure du Rio-Saloum (fig. 5).

Cette espèce est abondante toute l'année devant l'embouchure du Rio-Saloum ; ailleurs elle est abondante en saison chaude.

#### Dasyatis margarita

C'est la principale espèce de ce genre et représente le quasi-totalité des captures.

La période d'abondance débute à la fin de la saison chaude et se prolonge sur toute la saison froide, les maxima se situent en février et en avril suivant les années.

Le domaine de répartition s'étend jusqu'à -90 m ; les concentrations maximales sont relevées entre la côte et -20 m (fig. 5).

Quelques espèces de raies sont retrouvées en abondance pendant la saison froide, et jusqu'à -10 m (Rhinoptera sp., Alopias sp., et Myliobatis sp.).

#### Alopias sp.

Le domaine de répartition s'étend jusqu'à -75 m, elle se concentre surtout jusqu'à -40 m (fig. 6).

La période d'abondance s'étale de décembre à juillet ; le maximum se situe en avril-mai (fig. 13).

#### Myliobatis sp.

Elle occupe la même répartition que la raie ; sa période d'abondance se situe entre juillet et novembre (fig. 13).

#### Myliobatis sp.

Elle se répartit jusqu'à -30 m et se concentre surtout autour de l'embouchure et jusqu'à -20 m.

Elle est abondante toute l'année ; le maximum d'abondance se situe en avril-mai-juin.



de la côte et -50 m. Les jeunes individus sont surtout côtiers, se concentrant de -70 à -60 m en dehors de l'épave, de la côte d'octobre à janvier (fig. 7).

Il est abondant toute l'année et surtout entre mai et septembre, période de reproduction maximale (CHABERNE C. sous presse).

Epinephelus

Il est abondant toute l'année ; sa reproduction est le plus précoce et se prolonge sur toute l'année. Sa biomasse peut atteindre 20% de la biomasse des poissons de fonds (MORCHAL J. et al., 1973)

Le champ de répartition s'étend de -15 à -140 m ; la concentration maximale se rencontre au delà de -80 m. LE TREMS P. (1972) rapporte une variation de taille de la côte vers le large ; la taille des poissons augmente avec la profondeur et les juveniles sont côtiers.

Epinephelus

D'après CIRET (1974) la population au sud du Cap Vert forme une entité à part. Des migrations vers le nord et à partir d'août-septembre ont été rapportées par CHAMPAGNE et al. (1973). Les recensements de la pêche artisanale à la ligne à Joal, montrent une légère baisse à cette période. Les juveniles se concentrent au sud de la presqu'île du Cap Vert.

Le champ de répartition de cette espèce s'étend de la côte à -100 m. Les concentrations sont élevées à la côte (fonds de moins de - 25 m) de novembre et mars et en juin-juillet. (fig. 7)

Epinephelus

Il se répartit entre -20 et -130 m et se concentre entre -30 et -70 m. (fig. 4)

Cette espèce migre vers le sud à partir du mois de novembre ; elle est rencontrée dans le Sine-Saloum en abondance en février-mars et la remontée vers le nord s'effectue à partir d'avril.

La période d'abondance se situe en saison froide et recouvre les mois de février-mars-avril.

Epinephelus

Il se répartit entre -5 et -130 m et se concentre entre -20 et -50 m en saison froide ; les jeunes individus restent côtiers.

En cours de sa migration vers le sud, il passe par la région du Sine-Saloum au mois de janvier, mois d'abondance maximale ; la période de moindre abondance se situe au mois d'avril correspondant au passage de cette espèce lors de la remontée vers le nord (fig. 6)

D'autres espèces moins importantes que les précédentes sont rencontrées dans la région du Sine-Saloum : Epinephelus ; Epinephelus ; Dentex ; Haemulon ; Paralichthys ; Scorpaenidae ; Scorpaenidae et Prionotus.

### 2.4.2.3. Les espèces profondes

Elles correspondent à la communauté des Sparidae profonds de l'état 37. Dans la région du Sine-Saloum deux espèces sont très abondantes : Dentax macrophthalmus et Pagrus pagrus.

#### Dentax macrophthalmus

Elle est répartie dans la tranche bathymétrique -60 à -80 m, mais sa concentration se rencontre au delà de -60 m. Il est présent dans toute l'année.

#### Pagrus pagrus

En zone profonde, elle se déplace vers la côte, jusqu'à -40 m, pendant la saison froide qui correspond à son abondance maximale. Pendant cette saison que les sardiniers la pêchent, elle est peu recherchée.

Les autres espèces profondes sont rencontrées dans la zone de la zone chaude et en saison froide : Merluccius senegalensis, Merluccius capensis et Parascubiceps senegalensis.

### 2.5. SCAPITULATIN

Les variations saisonnières de l'abondance des scapitulatins sont représentées par la ' (fig. 2)

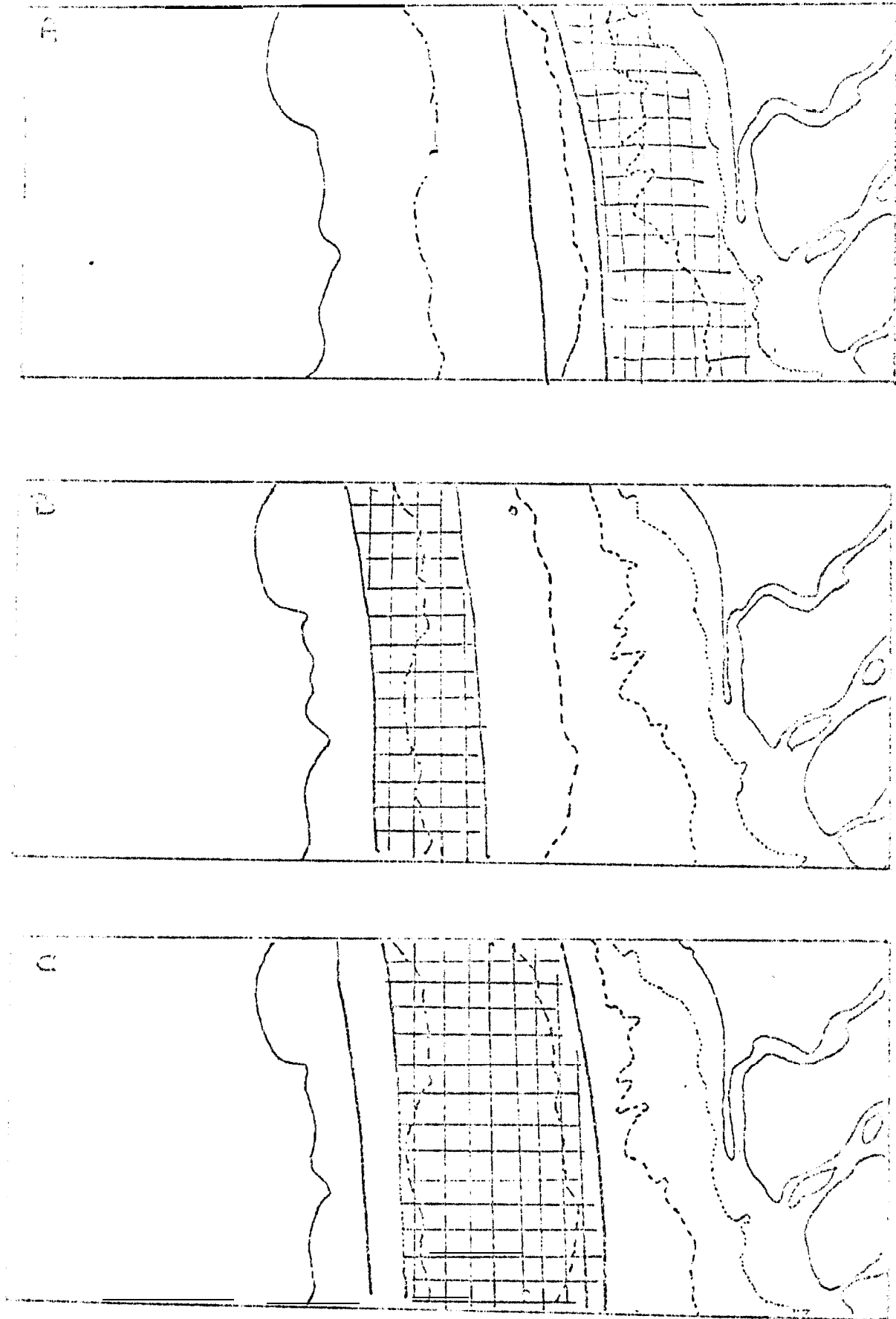


Fig:4 - Répartition et zone d'abondance   
 de *Pomadourys jubelini* (A)  
*Dentex macrophthalmus* (B)  
*Diagramma mediterraneum* (C)

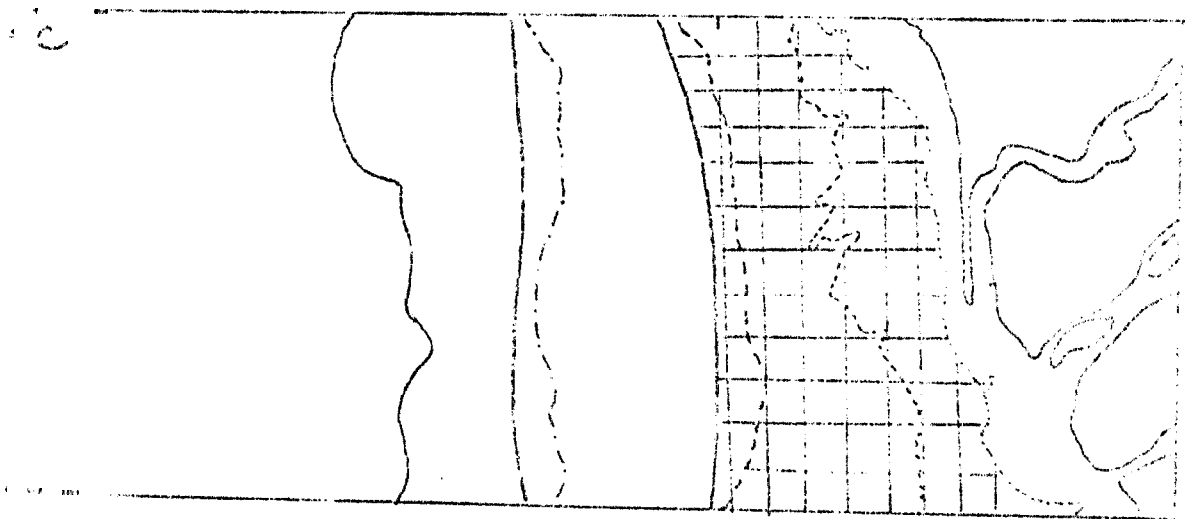
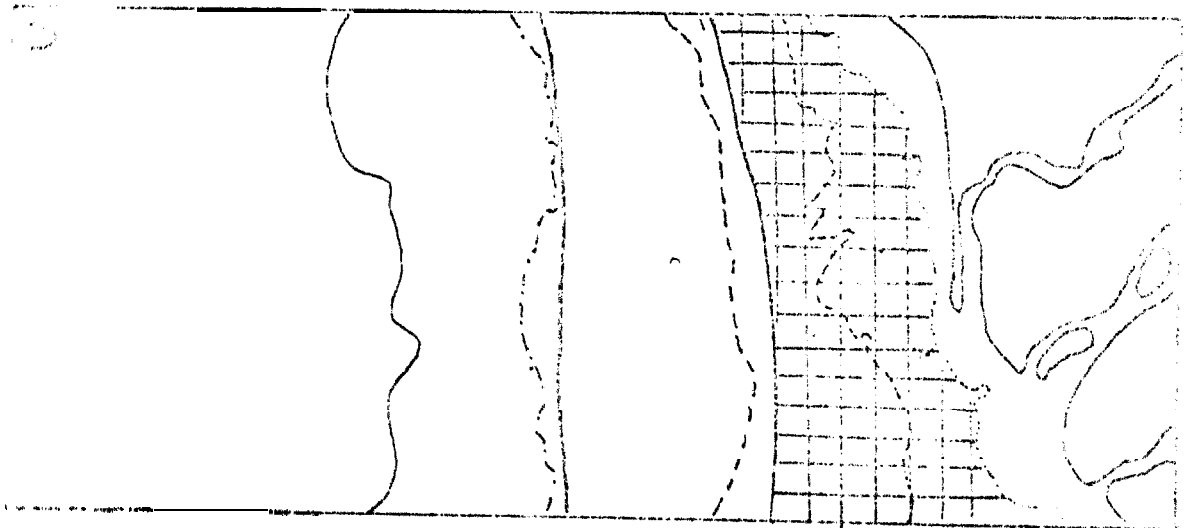
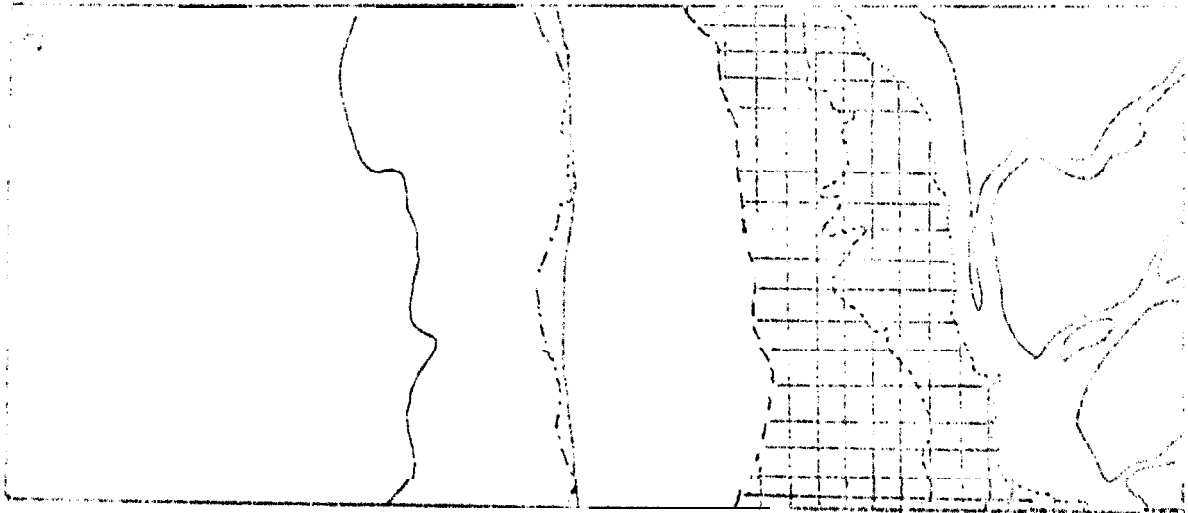


Fig:5- Répartition et abondance de  
*Dasyparis* sp (A)  
*Cymbium* sp (B)  
*Arrus* sp (C)

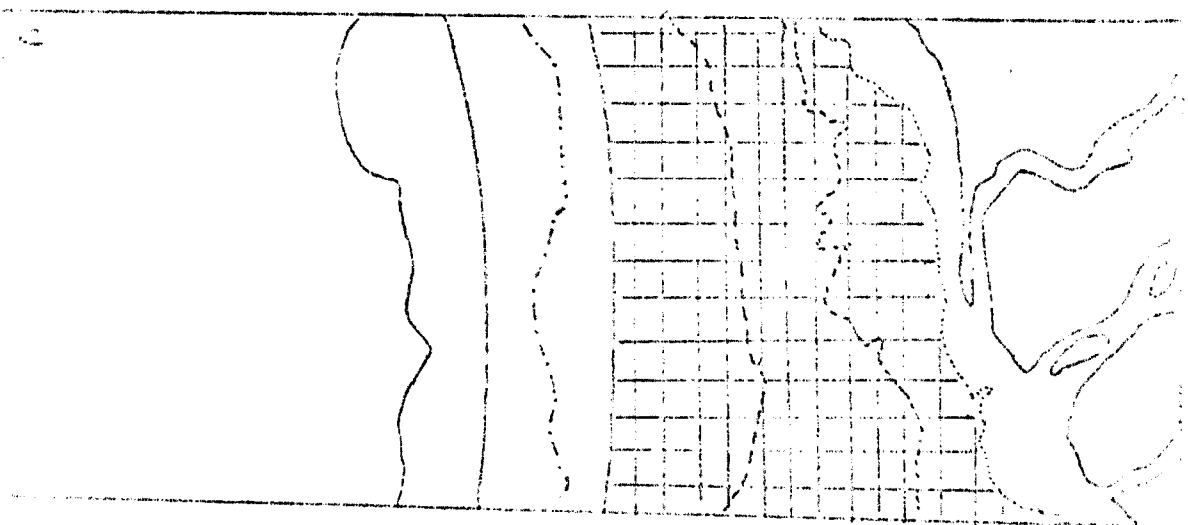
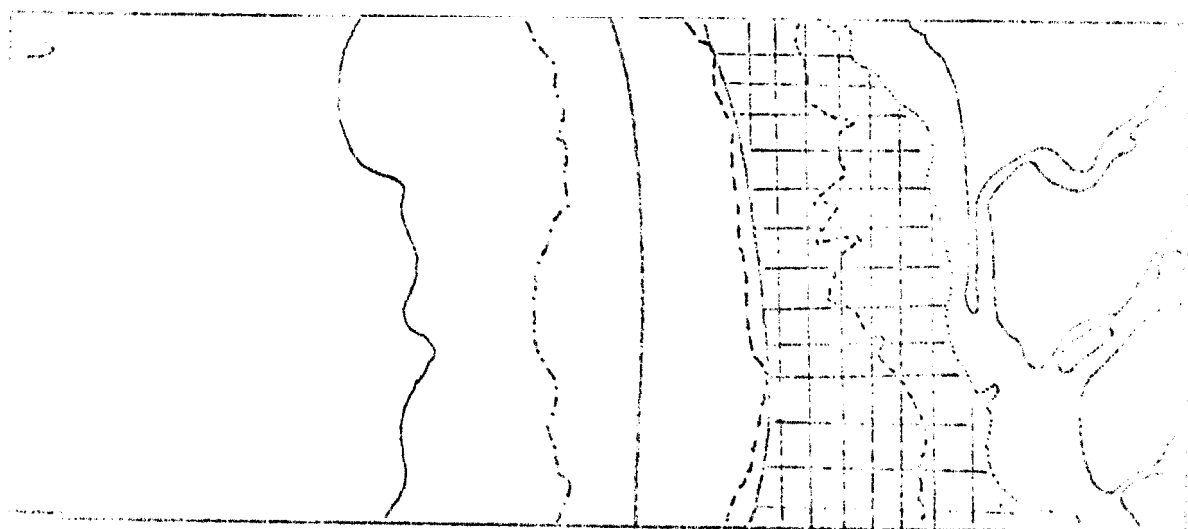
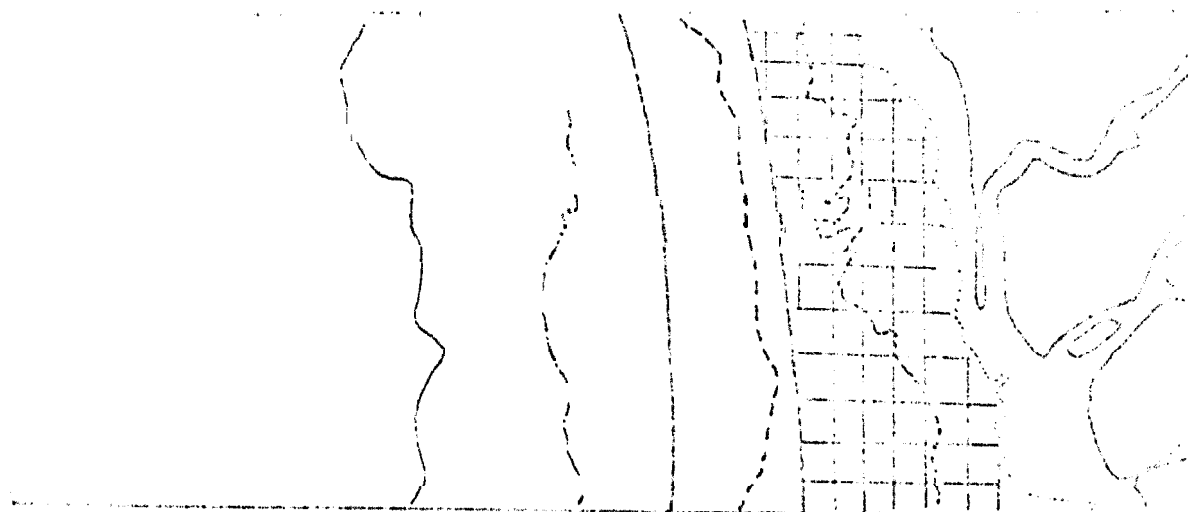


Fig: 6- Répartition et abondance  
 de *Pseudolithus* sp. (a)  
*Drepane africana* ? (b)  
*Sepia* sp (c)

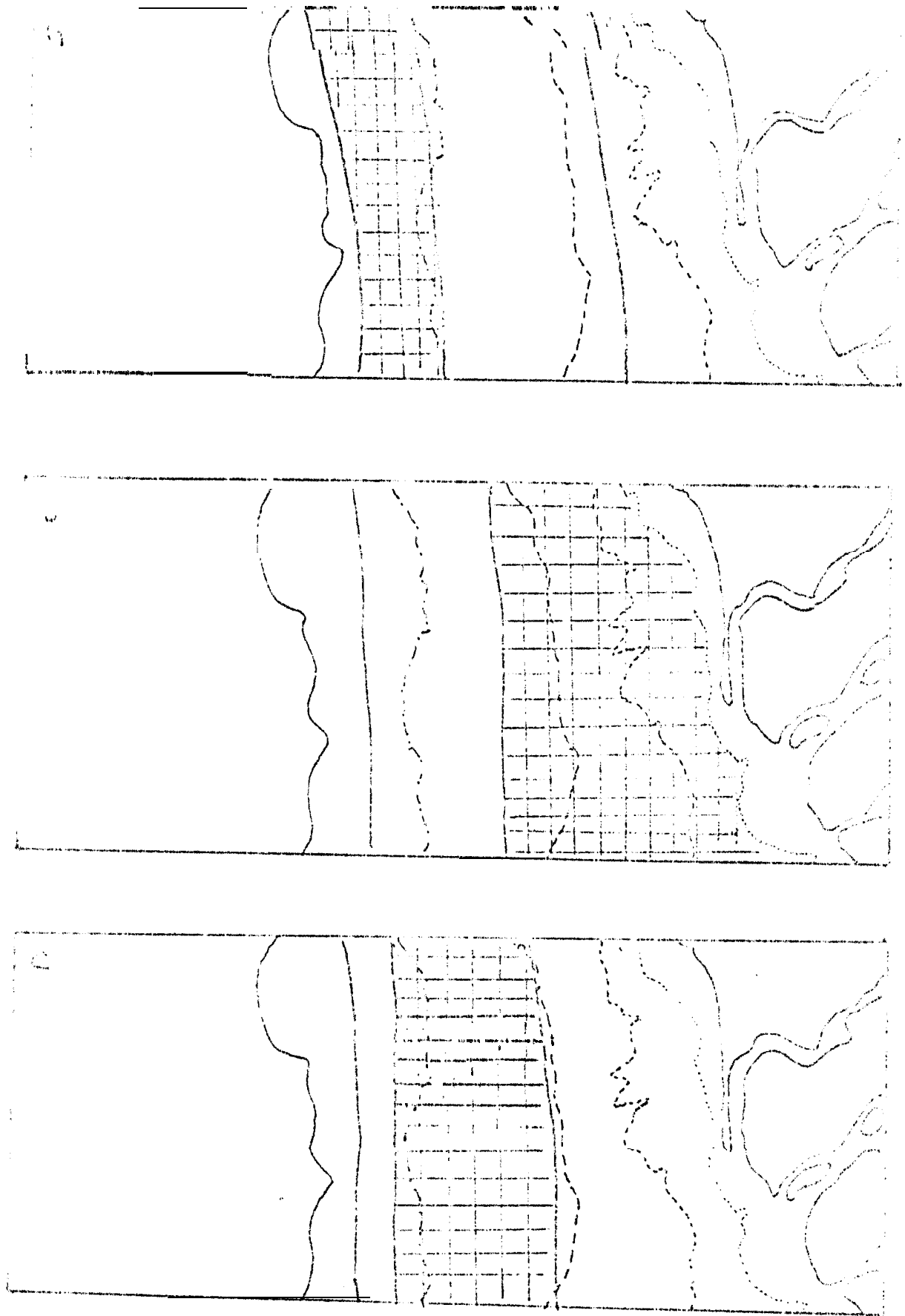


Fig. 7 Répartition et abondance  
 de *Pogonias cromis* (A)  
*Pogrus ehrenbergi* (B)  
*Pseudupeneus prayensis* (C)

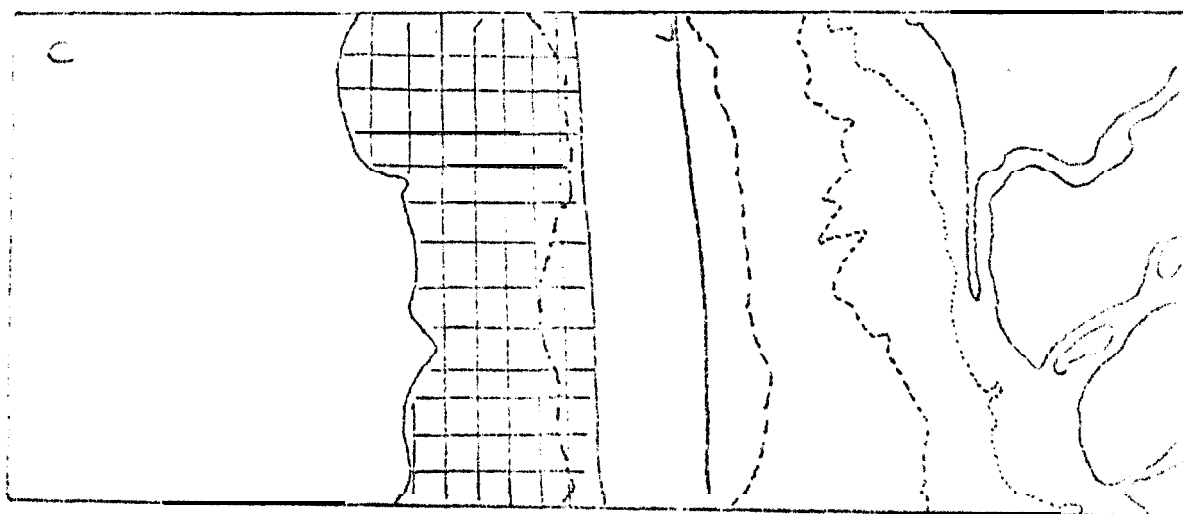
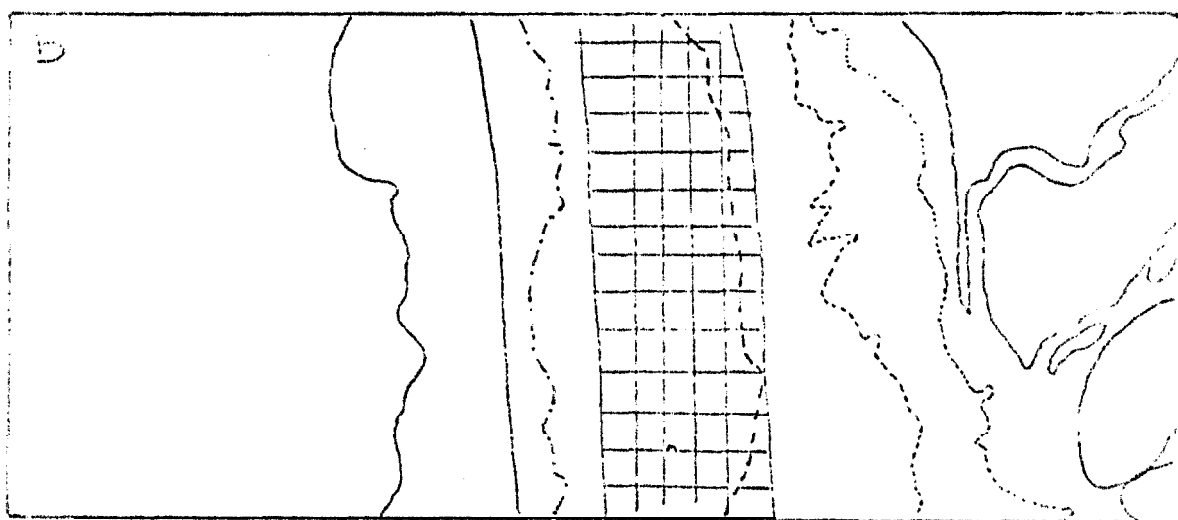
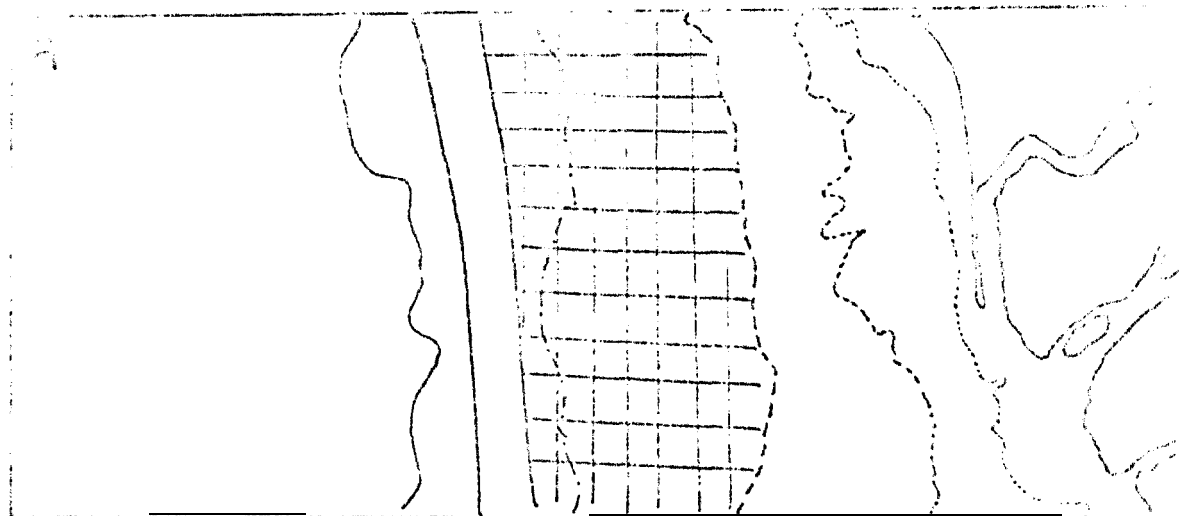


Fig: B Répartition et zone d'abondance de  
*Epinephelus senes* (A)  
*Dentex canariensis* (B)  
*Boops boops* (C)

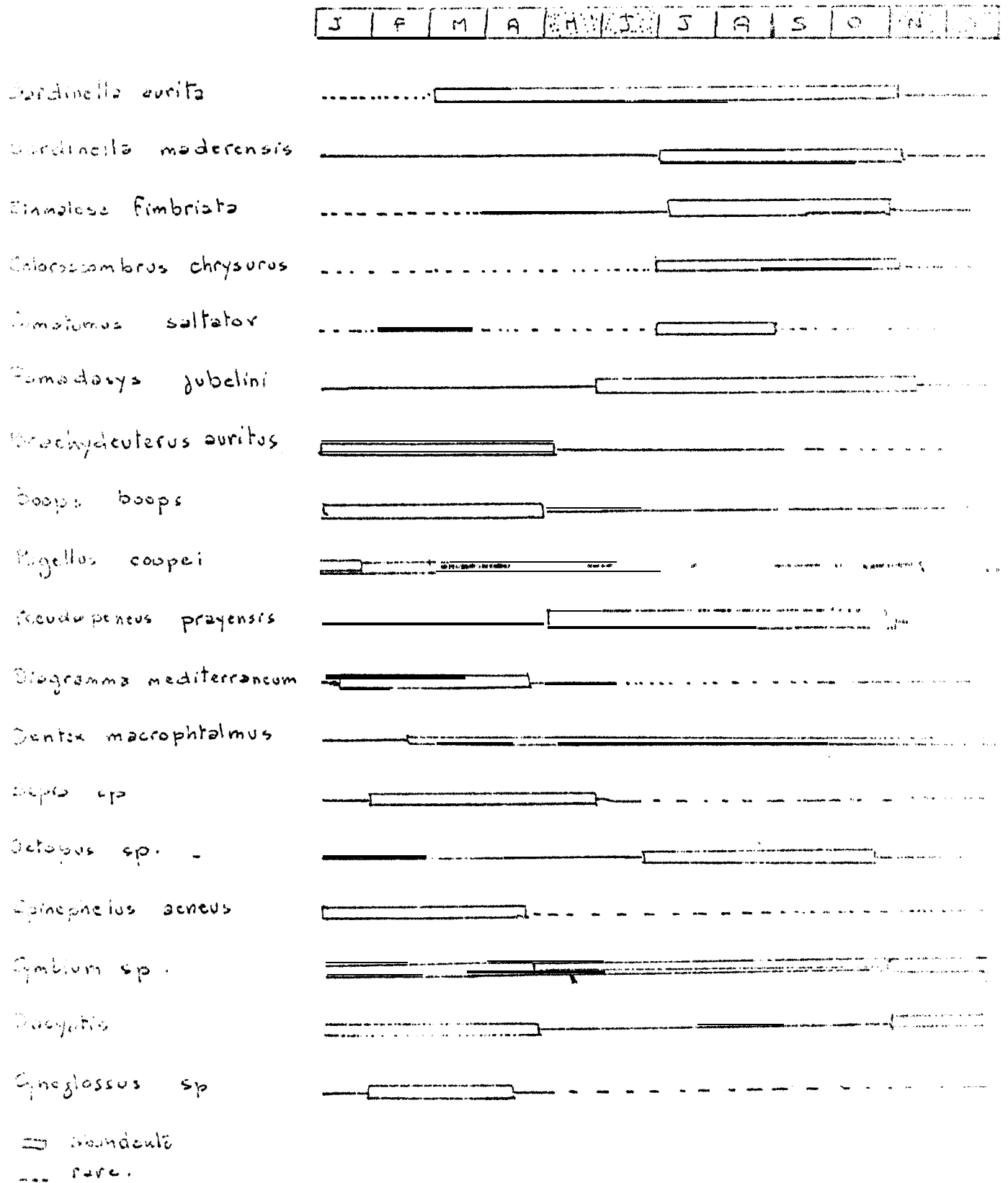


Fig: 9 Périodes d'abondance des principales espèces.

Boops

### 3. LES PECHERIES EXISTANTES

On distingue selon les moyens utilisés une pêche industrielle et une pêche artisanale. Chacune de ces deux pêcheries exerce son effort aussi bien sur les espèces pélagiques que sur les espèces démersales.

#### 3.1. LA PECHERIE ARTISANALE

Il existe deux centres importants de pêche artisanale dans la région du Sine-Saloum : le centre de Joal, et celui de Djiffré dont l'activité a commencé avec l'installation d'une usine de farine de poisson.

##### 3.1.1. Origine des données

Pour le centre de Joal, nous disposons des résultats d'enquêtes régulièrement effectuées en 1977 par la DOPM (Direction de l'Économie générale et de la Pêche Maritime) concernant les espèces pélagiques et démersales. Ces enquêtes ont été menées de la manière suivante : le nombre de sorties par engin de pêche, les débarquements et leur composition sont établis sur deux journées par semaine et une semaine sur deux. Pour les autres jours de la semaine, seul le nombre de sorties par engin est établi. La prise totale pour la semaine est ainsi obtenue à partir de la pue moyenne (prise par unité d'effort; l'effort étant la sortie d'une pirogue) calculée lors des journées enquêtées et de l'effort de pêche de la semaine, suivant la formule

$$\text{prise totale} = \text{pue}_m \times \text{effort total}$$

mais le résultat est extrapolé à la quinzaine.

Pour le centre de Djiffré, par défaut d'enquêtes régulières, une simple estimation des captures, et pour les espèces pélagiques uniquement, sera faite d'après les données d'une enquête. Nous disposons, néanmoins, de données concernant la période mars-décembre 1977, des captures d'un sennear qui pêche par les pirogues dans la région de Djiffré, à 8 milles de part et d'autre de la pointe de Sidiouane ; ces données ont servi à l'appréciation des variations d'abondance des captures.

##### 3.1.2. L'effort de pêche

###### 3.1.2.1. Centre de Joal

L'effort est exprimé en nombre de sorties par jour pour chaque unité de pêche (fig. 10)

Pour les pêches aux filets maillants encerclants, aux filets maillants dormants de fonds et aux sennes tournantes, l'effort diminue considérablement pendant la saison chaude. Cette diminution est liée aux difficultés de conservation du poisson pendant cette saison, au déplacement de certains pêcheurs vers d'autres centres de pêche, et à la double activité de certains pêcheurs qui sont en même temps agriculteurs (et qui consacrent cette saison à leurs activités agricoles) (STEQUERT B. et al, sous presse)

Pour la pêche à la ligne, l'effort de pêche diminue en mai et juin en raison du report de l'effort sur la pêche aux pilgès (période

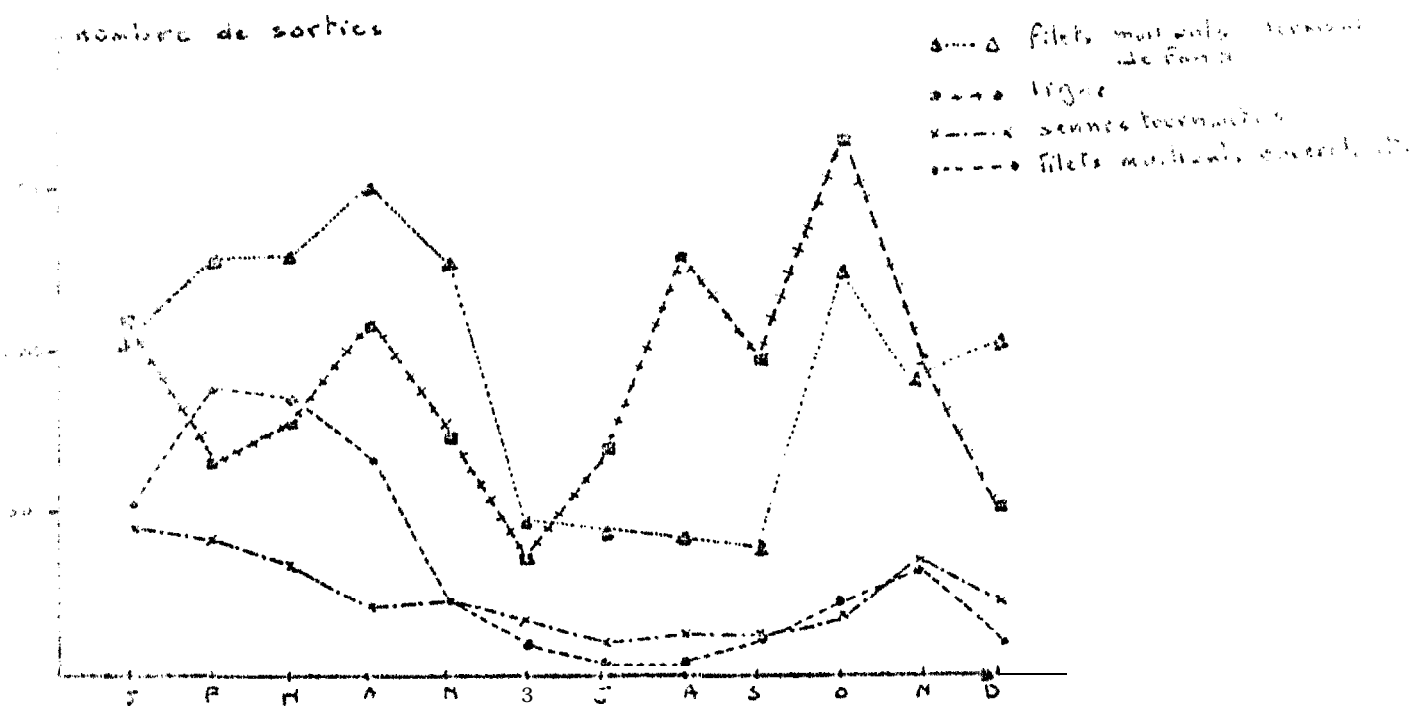


Fig: 10 Effort de pêche (au nombre de sorties) par engin de pêche

l'abandonance de la suite) des engins de pêche

3.1.2.2. Centre de Djiffère

L'effort de pêche n'est pas connu, à l'exception de l'effort du pêcheur artisanal. Par contre, l'importance du parc piroguier est connue : 30 pirogues, en plus de sennear artisanal déjà cité. En outre, l'année 1978 a vu une diminution du nombre des filets maillants encerclants au profit des sennes tournantes.

3.1.3. Les débarquements : importance, composition, tendances.

3.1.3.1. La pêche artisanale pélagique

La pêche artisanale pélagique utilise principalement la senne tournante et les filets maillants encerclants ; la pêche aux filets maillants encerclants de surface est secondaire.

Les prises sont estimées pour le centre de Djiffère et pour l'année 1977 à 16 000 t ; elles sont passées à 30 000 t en 1978 (Décret du 24-1-1979).

Pour le centre de Joal et pour 1977, les prises sont de 16 700 t.

La composition des débarquements de 1977 pour le centre de Djiffère a été déterminée pour l'ensemble des engins. Les prises comportent 11 000 t de sardinelles et 5 000 t d'ethmaloses. La composition des prises de 1978 n'est pas connue ; mais une diminution

de la proportion d'ethmaloses est fort probable, du fait de recaptures successives des filets maillants encerclants par les mêmes pêcheurs.

Pour le centre de Joal, la composition des débarquements pour chaque type d'engin se présente comme suit :

Les sautes tournantes : (tableau I) Sardinella aurita et S. medaerensis représentent la majeure partie des prises : 77 %. S. medaerensis représente à elle seule 61 % des prises. Le déplacement de cette dernière devant le filet (plonge quand elle se trouve à proximité d'un filet explique la supériorité de la saute tournante pour sa capturabilité (PÉRON et al. 1978). Cet engin permet, en outre, la capture de plusieurs autres espèces pélagiques (Pogonias sp. ; Caranx rhonchus ; Syngnathus ; Engraulis mordax ; Chloroscypha chrysurus ; Sargassum ; Centropomus ; Lagodon rhomboides et Caranx anguilla) qui bien que faibles en proportion représentent néanmoins des prises importantes du point de vue générique.

Les filets maillants encerclants : (tableau II) la composition des captures est différente de celles de la saute tournante.

Sardinella medaerensis est l'espèce la plus importante et forme 76 % des prises ; Ethmalosa fimbriata vient ensuite (17 % des prises) puis S. aurita (6 % des prises).

Il existe deux types de filets maillants encerclants selon le maille type : -les filets à mailles de 40 mm de côté et dont les prises comprennent plus de 80 % d'Ethmaloses ; -les filets à mailles de 60 mm de côté dont la prise comporte alors 90 % de S. medaerensis (PÉRON et al., 1976).

Le reste des espèces ne représentent que 1 % des prises.

Les rendements globaux pour le centre de Djiffère sont élevés de mars à novembre et bas, en décembre, janvier et février (nous ne sommes en effet, que les rendements de janvier et février sont nuls, bien que nous n'ayons pas de données) (fig. II).

Pour Joal, ils sont élevés entre avril et décembre et peu élevés le reste de l'année (fig. II)

Les rendements spécifiques subissent des variations saisonnières en fonction de l'abondance de l'espèce.

Sardinella aurita : Les jeunes sont les principaux composants des prises.

Cette espèce présente deux périodes de rendements importants. La première, allant de mars à septembre, présente deux pics situés en avril et en juillet pour le centre de Djiffère et, en mai et août pour celui de Joal. Ces deux pics pourraient correspondre à la migration des jeunes du sud vers le nord sur la petite côte ; l'intervalle de 3 mois qui sépare les deux pics correspondrait, quant à lui, au développement des jeunes reproducteurs. La seconde période, observée en octobre pour Joal et en novembre pour Djiffère, correspondrait à la migration des jeunes vers le sud.

Sardinella medaerensis : Les rendements maximums s'observent en août à Joal, de juillet à octobre pour Joal et de mai à octobre pour Djiffère. Pour ce dernier, le report de l'effort de pêche sur les ethmaloses et S. aurita pendant le mois de juillet (période d'abondance de ces espèces) explique la chute des rendements de S. medaerensis pour ce mois.

Etmopterus fisheri : pour le centre de Djiffire, les rendements sont importants à deux périodes. La première période se situe entre mars et juillet ; elle présente un pic en juillet qui correspondrait à la sortie des ethmaloses du fleuve Gambie et de l'estuaire de Niakhar à la suite des crues. La seconde période, de moindre importance, est située en novembre.

Pour le centre de Joal, les rendements sont élevés en juillet à octobre. Un pic est observé en septembre, et pourrait correspondre à une migration des ethmaloses vers le nord. Les rendements élevés de cette période sont dus à l'utilisation prédominante des filets maillants encerclants à grandes mailles (période d'abondance des ethmaloses).

Bonaparteus luboi : les rendements sont élevés en mai et juin.

D'autres espèces ne représentent qu'un faible pourcentage des prises. La variation de la pue ne peut être établie ; l'effort n'étant pas dirigé vers ces espèces, elle ne serait pas significative.

### 7.1.3.2. La pêche artisanale démersale (à Joal)

Trois types de pêche sont pratiqués : les deux principaux sont la pêche à la ligne et la pêche aux filets maillants dormants de fond ; le troisième type, la pêche aux pièges, est secondaire et artisanal.

Les prises sont évaluées à 1 600 t pour la pêche à la ligne, à 2 000 t pour les filets maillants dormants de fond et à 80 t pour les pièges.

Les espèces les plus importantes de la pêche à la ligne sont Merluccius capensis (481 t), Etmopterus granulosus (432 t), les mérous (17 t) ; ces trois espèces constituent 65 % des prises. Parmi les autres espèces citons Pomatomus saltatrix (131 t), Syngnathus abaster (87 t), Arius sp. (102 t), Caranx rhonchus (57 t) et Sardinia (52 t).

Pour les filets maillants dormants de fond, Arius sp. (408 t), Sardinia (682 t), soles (202 t), Pseudolithes (163 t), Dequius (151 t) constituent 96 % des prises. Arnyxosoma (19 t), Caranx (15 t), Sardinia (15 t), Rhinogobius sp. (16 t), roies (10 t), Syngnathus abaster (10 t) et Diagramma mediterranea (10 t) sont les principales composantes du restant des prises. (Tableau V)

Enfin, pour la pêche aux pièges, les prises sont constituées à 100 % par la seiche.

#### rendements globaux

Pour la pêche à la ligne, les rendements sont relativement constants au cours de l'année, en dehors de la période des pluies et de la saison froide, le plus important se situant en janvier ; ces pics sont reliés de l'abondance de Etmopterus granulosus. Le troisième pic se situe en saison chaude et relève de l'abondance de Pomatomus saltatrix. (Tableau III)

Pour les filets maillants dormants de fond, les rendements globaux sont nettement en saison chaude, du fait de l'abondance de Sardinia sp.

Les rendements spécifiques de la pêche à la ligne : (Fig. 12)  
 Les sardiniers ont une variation de la pue comportant deux pics, un en saison froide, en janvier et avril ; ils correspondent respectivement à la migration vers le sud et à la remontée vers le nord de cette espèce. 90 % des prises se font en saison froide (entre janvier et mai) ; le reste de l'année les rendements sont bas.

Pour les sardiniers abrahamqi, la pue est relativement stationnaire au cours de l'année, en dehors d'une légère baisse en saison chaude et d'un pic peu marqué en janvier.

Pour les sardiniers pilator, la pue comporte deux pics, le plus important en août, l'autre en février ; pour le reste de l'année la pue est faible.

Les rendements spécifiques de la pêche aux filets maillants dérivants de fond : (Fig. 14)

Pour les sardiniers, les rendements restent élevés toute l'année avec un pic en mai et septembre.

Pour les labridés, une période de rendements élevés s'étale de juillet à septembre avec un maximum au mois d'août. Les captures de cette espèce durant cette période forment 50 % des prises totales.

Pour les gobies, les rendements sont élevés pendant la saison froide, les maxima se situant au mois de mars ; ils sont bas pour le reste de l'année.

## 3.2. LA PECHERIE INDUSTRIELLE

La flotille est composée de sardiniers de 25 m de long environ, travaillant à l'aide d'une senne tournante coulissante, et de chalutiers de diverses puissances et utilisant divers types d'engins. Cette flotille est basée à Dakar et effectue des marées, entre autres, dans la région du Sine-Saloum.

### 3.2.1. La pêche industrielle pélagique

La durée des marées excède rarement 24 h du fait de la <sup>faible</sup> capacité de stockage et sa courte durée.

L'effort déployé ainsi que les prises dans la région du Sine-Saloum sont peu importants (tableau II) ; ils représentent 2 à 5 % de l'effort et des prises des sardiniers dakarois, qui exercent leur activité essentiellement au nord de Joal, ne pêchant qu'occasionnellement et en dehors de la saison chaude dans le Sine-Saloum. La variation de l'effort est notée au fur des années (1974 : 3 % ; 1977 : 2 %).

Les principales espèces des captures sont Sardinella aurita et Sardinella maderensis, Ethelora rimbrata, Pomadasys jubelini, Chirocentrus brachycephalus, et Coenax coenax.

Les variations de l'abondance ne peuvent être étudiées en raison des conditions exposées ci-dessus.

### 3.2.2. La pêche industrielle démersale

#### 3.2.2.1. Origines des données

Des données détaillées concernant uniquement la période 1974-1977 proviennent des enquêtes effectuées par le CRODT (Centre de Recherches Océanographiques de Dakar-Thiaroye).

Les enquêtes au port comportent les données suivantes : nom

de bateau, date et durée de la marée, zone prospectée, ainsi que les paramètres de chalutage, le nombre de traits de chalut moyen par jour de pêche ou par marée et la durée moyenne des traits. Ces données permettent de calculer l'effort réel de pêche exercé dans la région du Sine-Saloum

Les relevés des débarquements, collectés chez les armateurs et dans les usines de traitement, donnent la date des marées pour chaque trait et les prises par espèce ou groupes d'espèces. Pour les chalutiers travaillant en boeuf, ces données proviennent de la CFFA. Les prises spécifiques de ces chalutiers sont données pour quelques espèces ou groupes d'espèces, le reste étant inclus dans la catégorie divers, qui représente un pourcentage élevé des débarquements.

L'évaluation de la prise totale de chaque catégorie de chalutiers a été obtenue par extrapolation mensuelle du fait des marées effectuées et selon la formule

$$\text{prise} = \text{puc}_m \times \text{effort}$$

3.2.2. Flottille de pêche

La flottille est composée de chalutiers qui effectuent entre autres, des marées dans la région du Sine-Saloum.

Les rougetiers, petites unités de 100 à 300 CV, effectuent des marées de courte durée (48 à 72 h) et chalutent sur des fonds meubles sableux entre -15 et -60 m ; la tranche bathymétrique la plus visitée est comprise entre -25 et -60 m.

Les poissonniers boeufs sont des unités de grande puissance (700 à 1000 CV) qui pêchent par paire, deux chalutiers tractés par un bateau de grande taille. Leurs espèces cibles sont les espèces profondes qui existent sur des fonds meubles et durs, entre -15 et -45 m ; les marées durent 5 à 6 jours.

D'autres poissonniers, composés de chalutiers de puissance moyenne (300 à 500 CV) chalutent sur des fonds meubles entre -15 et -30 m. La durée de la marée est de 5 à 6 jours

La puissance totale (évaluée en tenant compte de tous les chalutiers qui ont pêché dans la région, ne serait-ce qu'une fois) augmentée ; cette augmentation relève de l'entrée en pêche d'un grand nombre de chalutiers, en particulier les poissonniers boeufs. Cela explique l'accroissement important de l'effort de pêche depuis 1970, l'effort de pêche des rougetiers étant resté, lui, stationnaire. Cet effort de pêche reste néanmoins faible. (Fig. 15)

3.2.2.3. Les débarquements

Les débarquements sont passés de 352 t en 1974 à 3329 t en 1977. Cet accroissement relève de l'augmentation de l'effort de pêche et de son orientation vers de nouvelles espèces (céphalopodes) d'une part, et de la diminution des rejets d'autre part. (TAB. VI)

La composition des débarquements ne peut être jugée avec précision, les données regroupant souvent plusieurs espèces de poissons différents suivant les années.

En 1974 et avant les débuts des chalutiers bouffes, les principales espèces composantes sont par ordre d'importance le pagot, le rouget et la dorade grise, le thiof, la badèche et la carade.

Après 1974, il ressort de l'ensemble des données de 1975 que l'importance relative des espèces a changé ; par ordre d'importance, ce sont le pagot et la dorade rose (regroupant avec les céphalopodes, le rouget, la dorade grise, les mérous et le capitaine, etc... (TAB. D)

Pour de nombreux mois, les séries de chiffres d'un côté, quelques rares séries ; d'autres mois n'en comportent aucune. Les séries regroupant souvent et de façon différente plusieurs espèces. Les variations des rendements globaux et spécifiques ne peuvent être appréciées.

### 3.5. CONCLUSION

Les principaux traits suivants peuvent être retenus :

Les débarquements pour les espèces pélagiques prédominent largement. Cette prédominance s'explique par :

- le enrichissement des eaux de la côte au sud du Cap Vert par des courants d'upwelling et par des apports fluviaux, qui favorisent localement la concentration des jeunes pélagiques offshore.
- le caractère abrité de cette côte qui facilite l'utilisation des filets tournants.

Sur le plan comparatif pêche artisanale-pêche industrielle :

Les débarquements de la pêche artisanale et pour les espèces pélagiques dominent ceux de la pêche industrielle. Les espèces ciblées sont les mêmes pour les deux pêcheries et sont Gardinella oculta, G. macrocephala, Ethmalosa fimbriata, Pomadasys sp..

Les débarquements des deux types de pêche pour les espèces céphalopodes sont d'importances égales. Certaines espèces sont ciblées d'un type de pêche déterminée : Tridacna sp. et Sepietta sp. pour la pêche aux filets maillants dormants de fond; le pagot, le rouget et la dorade grise pour la pêche industrielle. Une seule espèce est ciblée commune des deux types de pêche avec possibilité de prédominance de l'un des deux types : céphalopodes (prédominance de la pêche industrielle) ; Parus chrysogaster et Epinanchelus oculta et, Engraulis sp. (prédominance de la pêche artisanale respectivement à la ligne et aux filets maillants dormants de fond)

	JAN.	FÉV.	MARS	AVRIL	MAI	JUIN	JUIL.	AOÛT	SEPT.	OCT.	NOV.	DÉC.	TOTAL	MOYEN
<i>Sardinella aurib.</i>	753 800	733 700	315 900	880 000	1 021 000	1 626 200	353 800	713 500	266 800	132 800	1 159 100	384 200	6 561 200	61,82
<i>S. maderensis</i>	347 500	193 300	211 500	75 500	216 500	317 200	154 300	130 700	179 700	200 000	88 200	217 300	2 145 200	19,42
<i>Urechis</i> sp.	32 800	9 300	26 500	2 400	195 100	440 200					71 500	800	738 700	5,51
<i>Stomatopoda fimbriata</i>	33 500	18 000	78 400				119 400	9 700	202 400	164 500			625 000	4,49
<i>Squilla tritor</i>	2 500	2 000	7 200	800	700	2 400	2 800	5 300	700	43 000	103 900	5 600	176 900	1,25
<i>Tricus</i> sp.	3 500	21 600	46 200	83 200				700		11 300	3 700	12 400	192 500	1,31
<i>Argyrosoma regium</i>		54 200	108 500										162 700	1,17
<i>Caranx rhotichus</i>	1 400	600	1 500	129 900		43 200					11 700	14 300	159 700	1,15
<i>Aulres carangidés</i>	12 300	5 700	11 500	600		15 000				12 900	700		86 500	0,62
<i>Chirocentrus chrysurus</i>	1 300	4 800	6 300	3 200		900				13 700	62 500	700	94 100	0,68
<i>Brachydeuterus auritus</i>			4 300		58 400			8 700	700				73 800	0,53
<i>Pseudotalithus</i> spp.	17 400							18 700					34 100	0,25
<i>Pomatomus saltator</i>	600			2 400	4 200	16 800				1 500			25 500	0,18
<i>Euthynnus alletteratus</i>				1 600					700	500	13 500	3 000	19 100	0,14
<i>Sphyraena</i> spp.												1 800	1 800	0,01
Divers	285 300	181 900	256 200	2 000	600	1 400		17 400		55 100	27 000	2 400	829 700	5,96
<b>TOTAL</b>	<b>491 300</b>	<b>1 265 100</b>	<b>1 075 300</b>	<b>1 131 900</b>	<b>1 459 300</b>	<b>1 230 300</b>	<b>630 300</b>	<b>802 100</b>	<b>631 100</b>	<b>1 575 500</b>	<b>457 300</b>	<b>273 200</b>	<b>3 216 500</b>	<b>100</b>

Tab. I Débarquements (en kg) de la pêche  
aux sennes tournantes à JORAL (1977)

	NOV.	DEC.	JANV.	FÉV.	MAR.	AVRIL	MAI	JUN	JUIL.	AOÛT	SEPT.	OCT.	NOV.	DEC.	TOTAL	%
<i>Sardinella maderensis</i>	658 817	688 534	810 705	698 010	255 471	61 857	18 677	434		57 107	22 659	33 518	3 514 525	74.17		
<i>Sardinella aurita</i>	20 150	31 780	71 424	80 010	22 382	3 000		434		279	101 130	30 535	261 184	7.62		
<i>Ethmolepis fimbriata</i>			775				7 928	24 429	130 050	210 769	423 390		787 410	16.92		
<i>Larax rhonchus</i>	1 147	2 314	341	4 800	157								8 767	0.18		
<i>Alepis decadiactylus</i>			310	330			180	992		1 510	5 160	124	8 621	0.18		
<i>Zeugus</i>	278	224	270						630	1 178	4 960		7 570	0.16		
<i>Sepia</i> sp.		852	2 573	1 470	620				30				5 645	0.12		
<i>Lugil</i> sp.		3 948										2 655	6 583	0.14		
<i>Chloroscombrus chrysurus</i>	465	1 568	372						330		750		3 485	0.07		
<i>Sybius tritor</i>				781	558	900					300		2 539	0.05		
<i>Brachydeuterus auritus</i>	990	476	775	30	468							217	2 955	0.06		
<i>Arius</i> sp.	248									1 271		217	1 765	0.04		
<i>Myxosoma regium</i>		1 055											1 055	0.02		
													19	.		
Divers	2 170	2 340	2 201	2 450	124	2 190	465	310	3 330	1 643	870	436	19 100	0.41		
TOTAL	664 268	810 342	890 878	788 420	270 975	67 957	27 247	26 998	134 370	273 854	569 350	37 743	4 701 225	100		

Tab. II Débarquement des filets maillants ascensionnels à DOAL en 1977

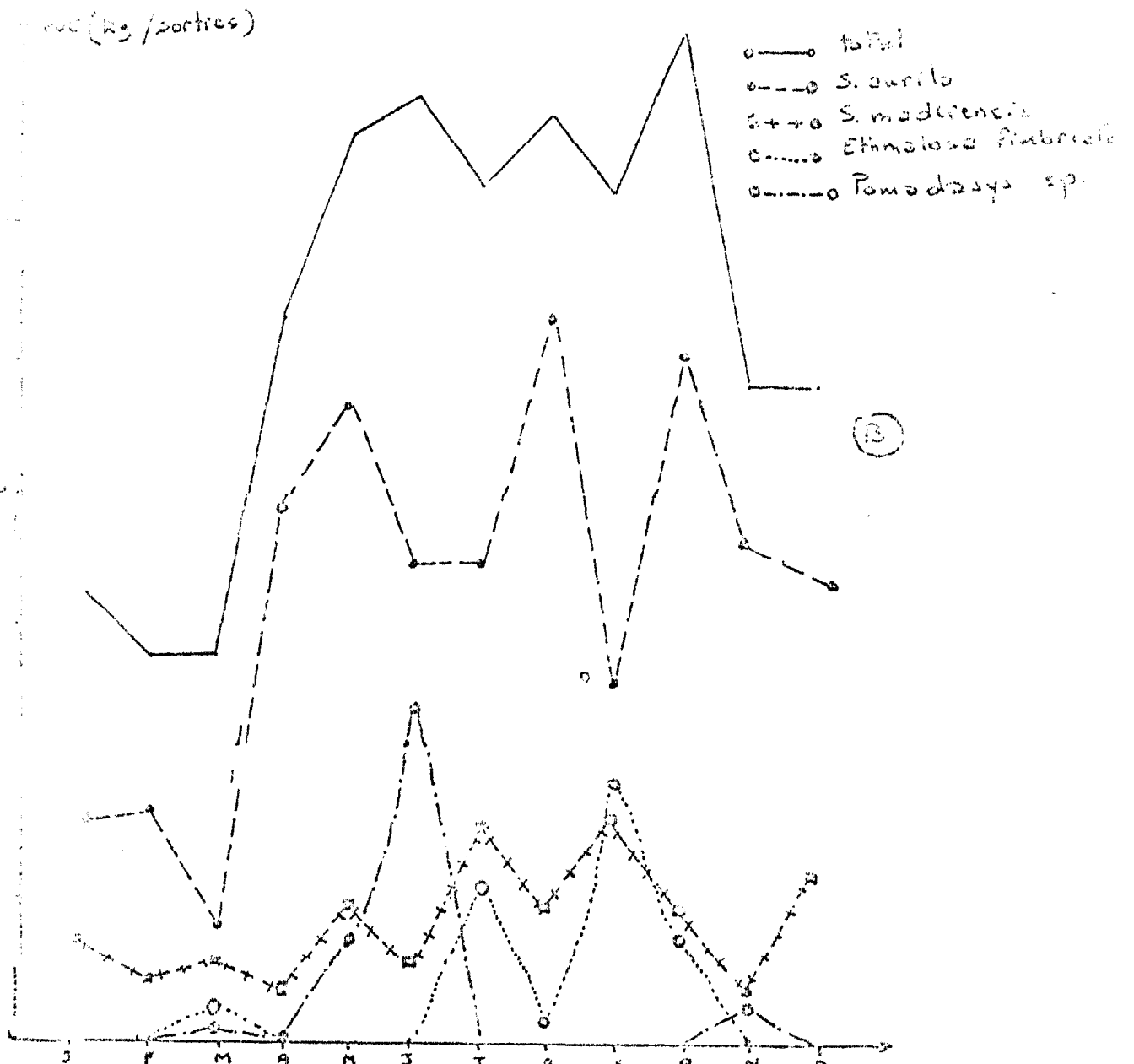
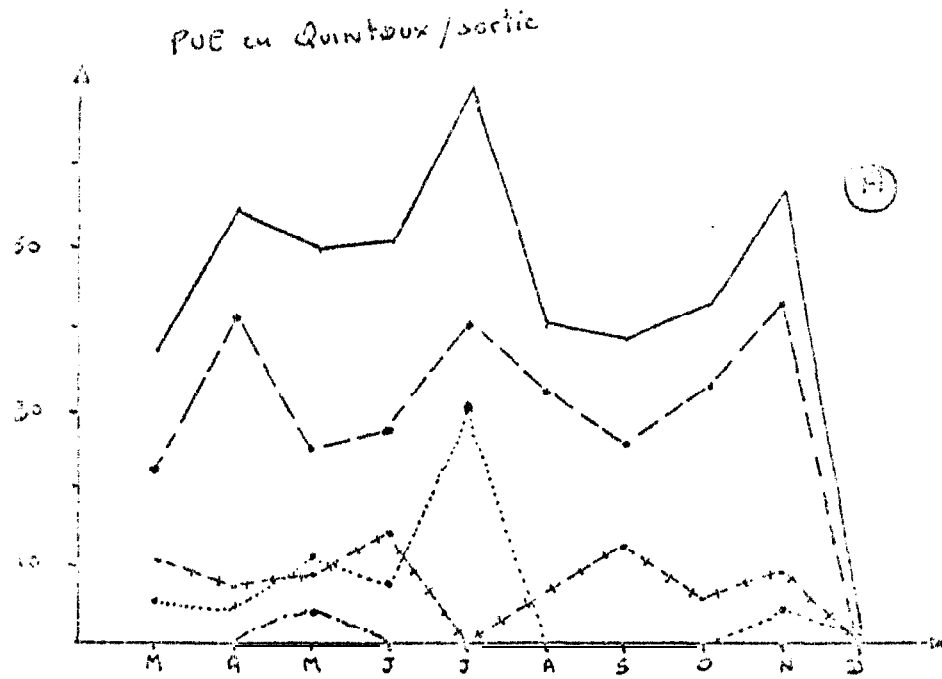


Fig: 11 rendements d'un sennear artisanal (à GSA) (1)

	1950	1951	1952	1953	1954	1955	1956	1957	1958	1959	1960	1961	1962	1963
<i>Dagros chironbergi</i>	60 300	30 400	30 200	40 100	20 300	10 500	20 000	20 100	30 000	30 000	30 000	20 000	100 000	50 000
<i>Epinephelus aeneus</i>	210 000	30 000	12 110	80 000	12 000	800	3 200	3 700	3 000	11 000	17 000	6 000	300 000	20 000
<i>E. gorenzii</i>	21 100	37	5 600	3 100	100	315	300	2 110	700	9 000	6 000	5 000	90 000	30 000
<i>E. gigas</i>								140	210	800	340	80	1 500	600
<i>E. spp.</i>		26 300	16 500		3 000	150	248	5 000	1400	6 500	5 700	40	65 000	400
<i>Pomatomus saltator</i>	800	6 800	3 700	140	200	60	26 400	80 700	4 000	5 800	1 300	500	130 000	800
<i>Sepia sp.</i>			16 000	20 000	7 000	100	30	100	60	10			50 000	300
<i>Arius sp.</i>	300		1 100	60	1 200	10 000	10 000	4 700	37 000	20 000	4 200	3 700	100 000	600
<i>Cybius tritor</i>	100		16		50	200	7 000	20 000	20 000	10 000	1 100		67 000	500
<i>Caranx rhonchus</i>	8 000	200	2 200	2 500	3 100	600	12 000	17 000	700	2 500	1 800	1 900	57 000	300
<i>Caranx carangus</i>	1 000		400			900		900	300	20			3 000	600
<i>Pagellus couplei</i>			800	1 500	1 000	200	1 500	3 000	600	200	2 000	40	13 000	600
<i>Pomadourys sp.</i>	30		20	1 200	80	400	300	400	2 500	2 800	300	600	9 000	600
<i>Pseudotolithus sp.</i>	6 400	1 200		50			50		400	400	40	1 000	9 000	600
<i>Mycteroperca rubra</i>					60	300	4 200	400	2 400	400	30	8 000	600	
<i>Requin</i>	2 000		100	100	400	100		500	1 200	300	300	6 000	600	
<i>Comer</i>				50	300	1 700	900	800	2 500	300	100	6 000	600	
<i>Argyrosoma regium</i>	3 800	1 600						30			200	5 000	600	
<i>Sphyrna spp.</i>			80			300	100	100	300	2 000	500	100	4 000	600
<i>Mynnis gorenzii</i>					100	1 000	400	1 100	300	10	200	3 000	600	
<i>Rhinobatos sp.</i>			500			100	100	100	400	500	400	2 000	600	
<i>Diagramma mediterraneum</i>	300		60	100	300	300	500	800	300		300	2 000	600	
<i>utjanus sp.</i>	100			500	80	60		200	200	400	50	1 000	600	
<i>Lagocephalus litigatus</i>				200	100	100	200	100	200	20	10	300	1 000	600
<b>Others</b>	11 000	2 000	3 000	4 500	2 500	2 000	4 000	5 000	3 000	5 000	1 000	30 000	600	
<b>TOTAL</b>	300 000	100 000	100 000	130 000	50 000	30 000	30 000	100 000	100 000	100 000	100 000	100 000	100 000	100 000

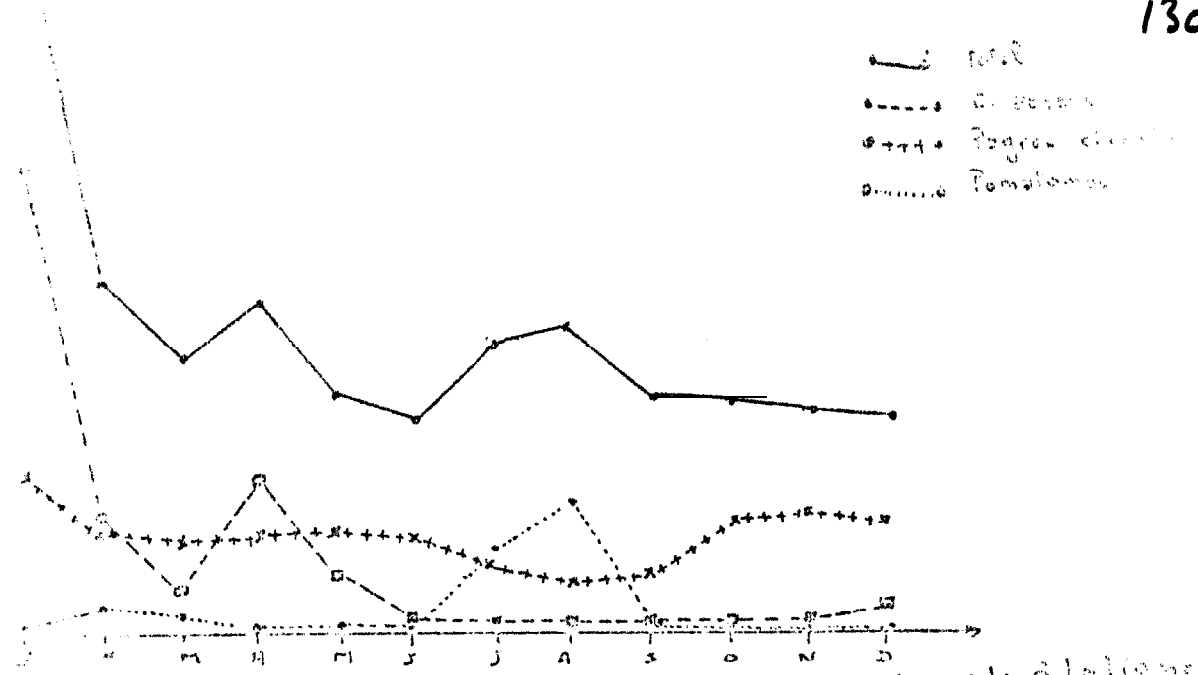


Fig: 12 Rendement de la pêche artisanale à la ligne

(en kg/jour de pêche)

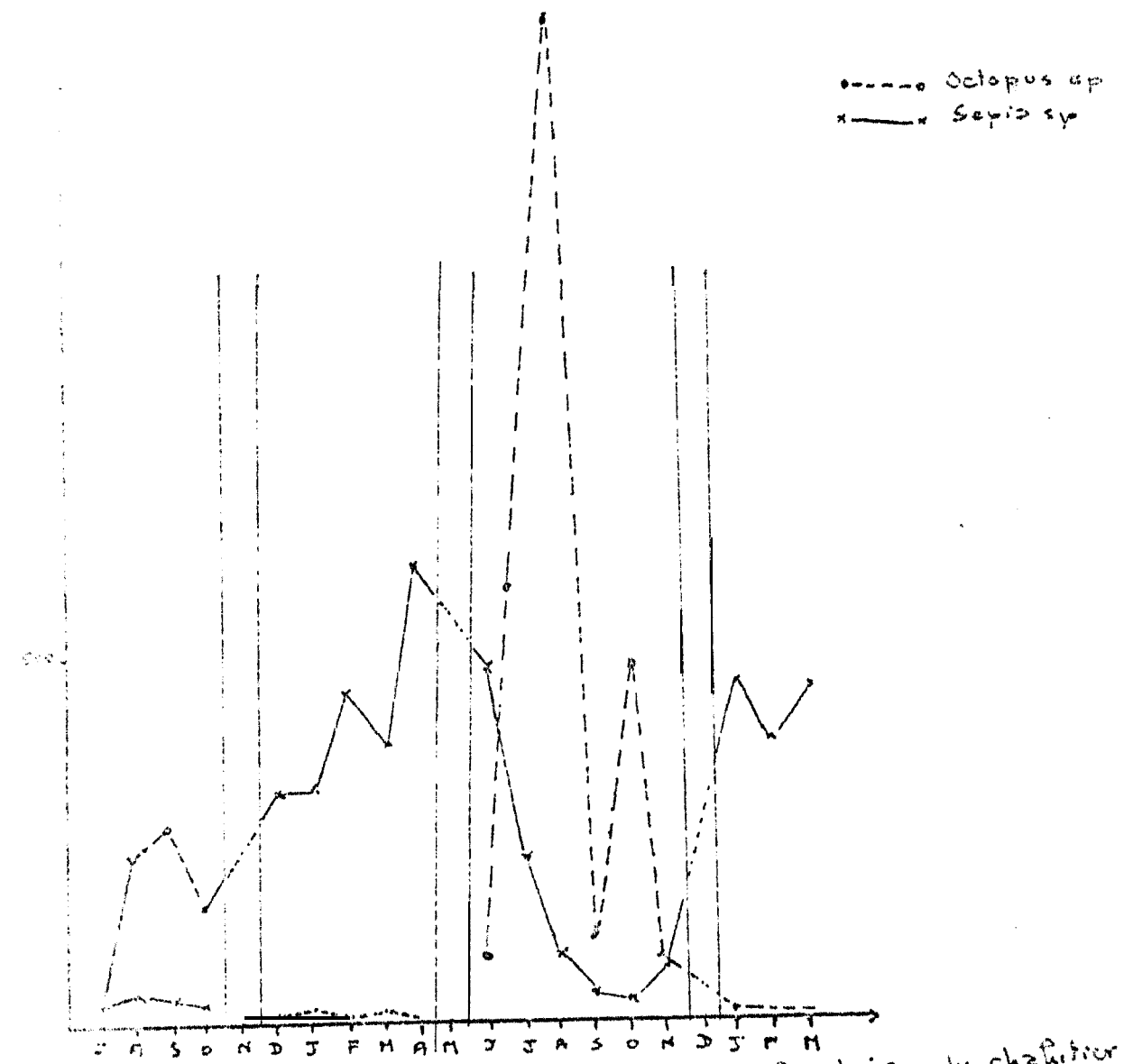
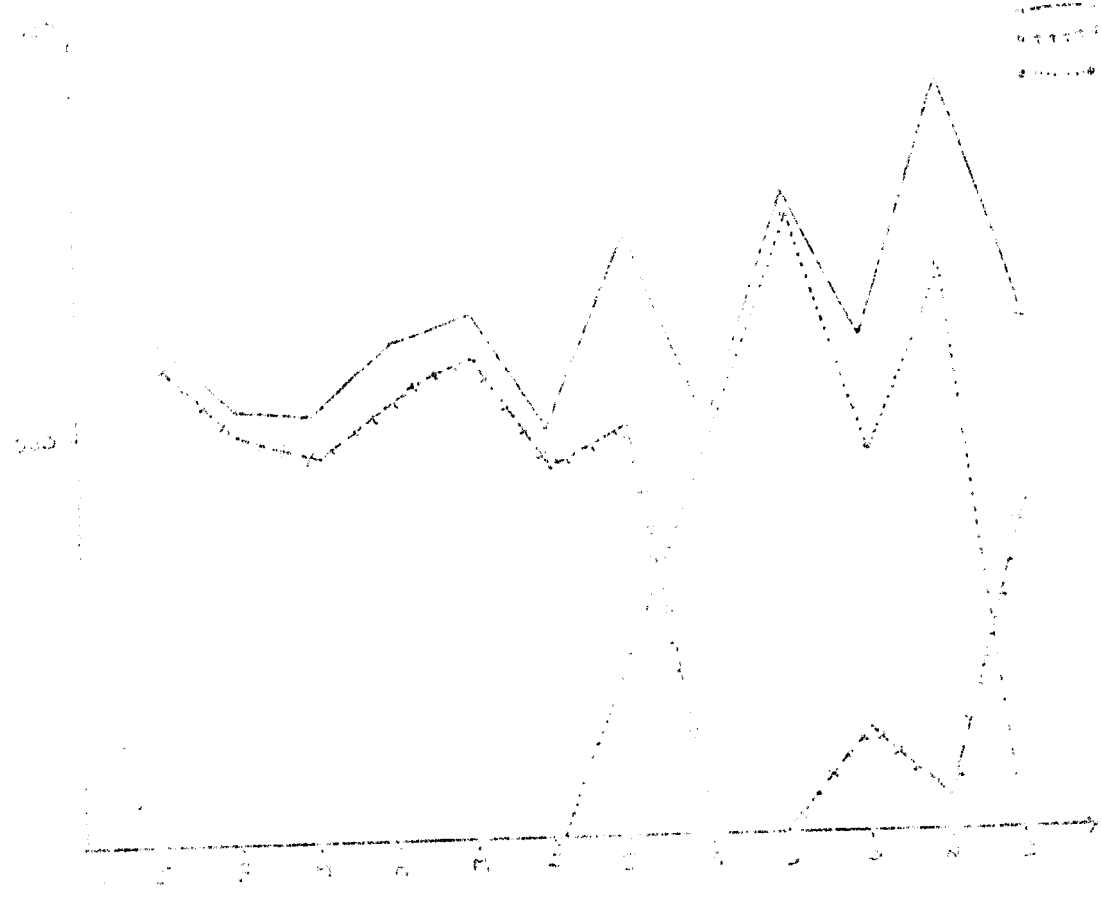


Fig: 13 Rendement de la pêche exploratoire du chalutier BANDIOLA (1973-1975)

Case (mg/percent)

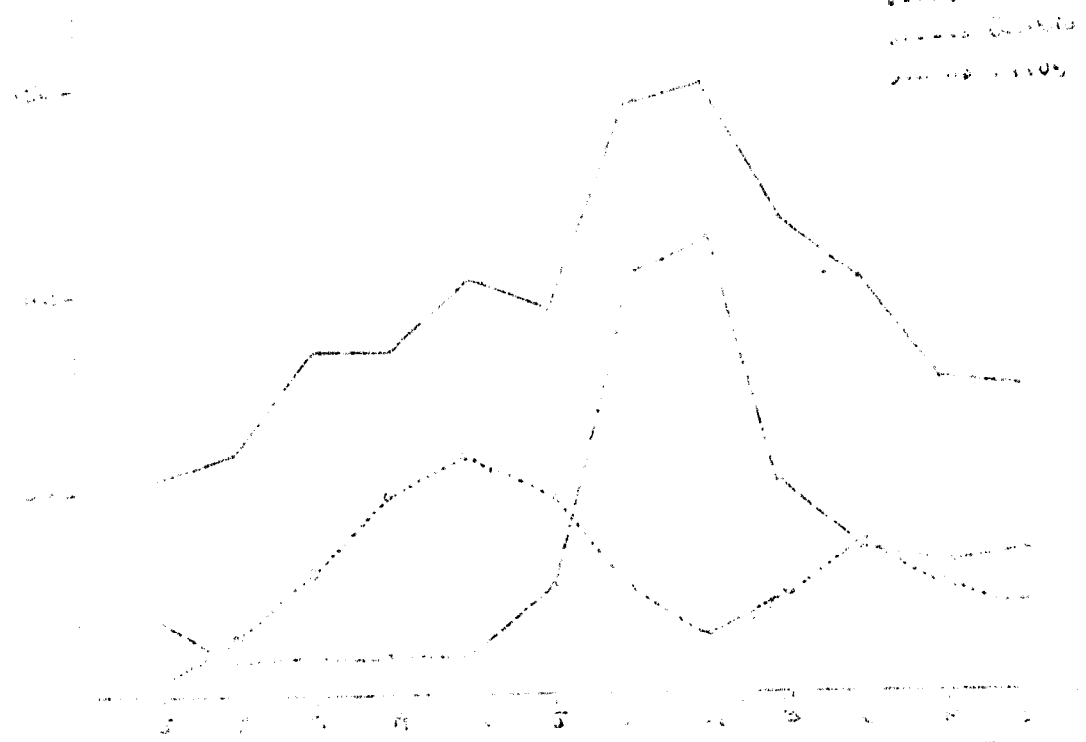
Legend:  
 - - - - - 1975  
 - - - - - 1976  
 - - - - - 1977



(3)

Case (mg/percent)

Legend:  
 - - - - - 1975  
 - - - - - 1976  
 - - - - - 1977



(4)

1975 1976 1977  
 Case (mg/percent) (A) Case (mg/percent) (B) Case (mg/percent) (C)

<i>Arius</i> sp.	3 330	30 300	30 300	30 300	30 300	30 300	30 300	30 300	30 300	30 300	30 300	30 300	30 300	30 300
<i>Cymbium</i>	43 330	25 300	30 300	30 300	30 300	30 300	30 300	30 300	30 300	30 300	30 300	30 300	30 300	30 300
<i>Soles</i>	12 330	26 300	30 300	30 300	30 300	30 300	30 300	30 300	30 300	30 300	30 300	30 300	30 300	30 300
<i>Pseudotolithus</i> sp.	14 330	33 300	30 300	30 300	30 300	30 300	30 300	30 300	30 300	30 300	30 300	30 300	30 300	30 300
<i>Lequins</i>	19 330	5 607	10 450	8 100	25 170	846	868	5 270	10 300	15 710	17 175	28 900	155 800	7.7
<i>Pomadourys jubelini</i>	14 888	336	2 385	6 000	10 000	7 800	515	54	773	52 500	8 200	1 850	37 200	1.9
<i>Pomadourys</i> sp.		1 640	1 310			210		101	85	1 432	3 700	1 86	7 900	0.4
<i>Argyrosoma regium</i>	2 681	11 860	17 340	2 350	841	375					25	55 100	1.8	
<i>Langoste</i>	2 922	3 340	3 133	1 410	341		305	357	205	663	968	1 166	15 700	0.8
<i>Sepia</i>		167	1 050	6 500	7 100	720		47	47		210		15 315	0.8
<i>Rhiacobates</i> sp.		336	801	585	1 140		3 022	837	765	2 443	1373	1 004	10 400	0.5
<i>Cybius tatar</i>				430	2 000	2 200		1 310	210	707	2 355	521	10 700	0.5
<i>Diagramma mediterranea</i>	0.2	501	93	323	8 700	2 800	54			143	30	185	3 300	0.05
<i>fluvex</i>		167	264	323	1 500	38		402		521	540	4 801	6 500	0.05
<i>Pagrus ehrenbergi</i>	256	1 006	807	743	1 200	310	403		300	812	240	515	5 400	0.2
<i>Sphyræna</i> sp.		774		720		210			350	2 734	143	559	10 000	0.5
<i>Rajidae</i>		93	2 010	1 210	610	180	373	885	563	1 350	23	1 007	3 500	0.5
<i>Caranx rhonchus</i>			41	1 200	450	1 650	465		30	1 525		81	3 400	0.2
<i>C. carangus</i>	217	220	434							1 600	540	242	2 700	0.2
<i>Galeorhinus galeus</i>				400				402	1 100	100	773	60	2 500	0.1
<i>Euthyanus zilateratus</i>					2 000								2 100	0.1
<i>Pomatomus saltatrix</i>	40	56	26	150	70	250	514	500			345		1 700	0.1
<i>Leiocassis longirostris</i>			200	92	200	200	27	110	30				2 200	0.1
<i>Drepane africana</i>				370	28	203	50	170	125	797	400	230	1 210	0.1
Divers	520	3 340	2 000	10 000	10 000	10 000	3 100	2 100	5 000	15 000	4 100	1 000	50 000	4.3
TOTAL	1 300	100 000	100 000	100 000	100 000	100 000	100 000	100 000	100 000	100 000	100 000	100 000	100 000	100

	1974	1975	1976	1977
<i>Sardinella aurita</i>	8 051	6 760	8 345	3 204
<i>Sardinella maderensis</i>	3 228	2 097	1 735	2 218
<i>Caranx rhonchus</i>	114	623	177	117
<i>Pomadosys sp.</i>	4 172	679	232	3
<i>Colarotcombrus chrysurus</i>	1 285	77	28	
<i>Umbra fimbriata</i>	735	308		200
<i>Trachurus trachurus</i>	365	303	24	
<i>Trachurus trachurus</i>	14	42		3
<i>Scorpaenopsis japonicus</i>		360	24	1
<i>Caranx carangus</i>	4 334	4 000	50	
<i>Boops boops</i>	35	358		
<i>Lepidion sp.</i>		358		
<i>Merluccius setapinnis</i>	743	356	205	
Divers	30	4 599	221	
TOTAL	30 046	18 058	11 059	5 939

Tab. V Prises des sardiniers (en quintaux) dans la région du Sinc-Saloum.

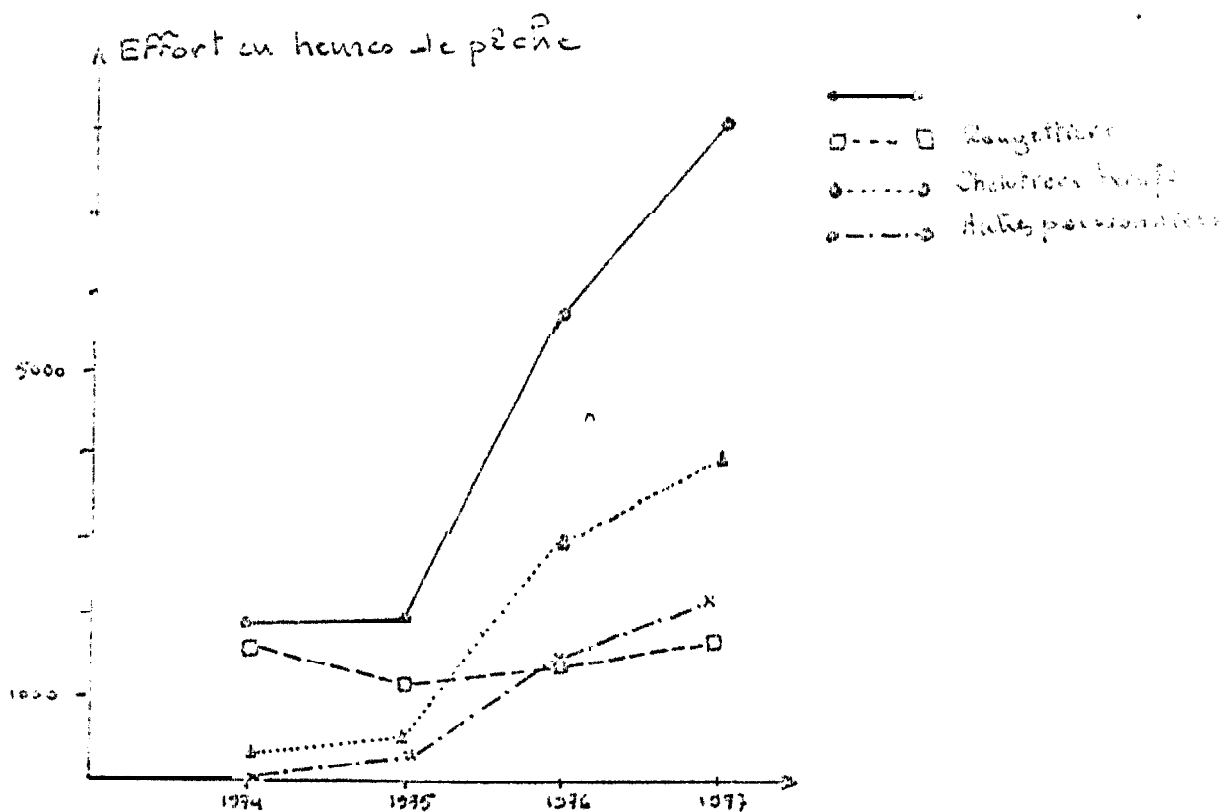


Fig. 15 : Evolution de l'effort dans la région du Sinc-Saloum

	1974	1975	1976	1977
Bourche	15 810	15 905	8 301	7 525
Oranget			1 082	203
Capitaine	87	16 214	56 900	47 000
Cafangidés	1 008	1 308	80	11 000
Carpe rouge	448	92	94	1 397
Carbine	42		144	110
Carade grise	24 940	38 105	90 241	211 473
Carade rose + paycot	62 666	58 345	465 507	1 335 327
Changouste		629	1 504	2 225
Chenouon			4 350	6 550
Chou + mérou	20 271	24 290	73 022	113 470
Chouva			31 995	7 108
Choulet	70 363	61 396	198 138	350 334
Chouliopades	672	667	235 080	307 700
Chou longue	505	2 527	80 910	37 185
Chou roche	347		575	236
Chou patt	7	50	32 212	21 300
Choukem			26 123	5 673
Choubat.			1 472	48
<b>Total</b>	<b>145 750</b>	<b>266 911</b>	<b>678 657</b>	<b>800 457</b>
<b>TOTAL</b>	<b>351 515</b>	<b>486 633</b>	<b>1 924 041</b>	<b>3 320 020</b>

Fig. VI

Prises des chalutiers dans la région du Sine-Saloum

PUC (t/10heures)

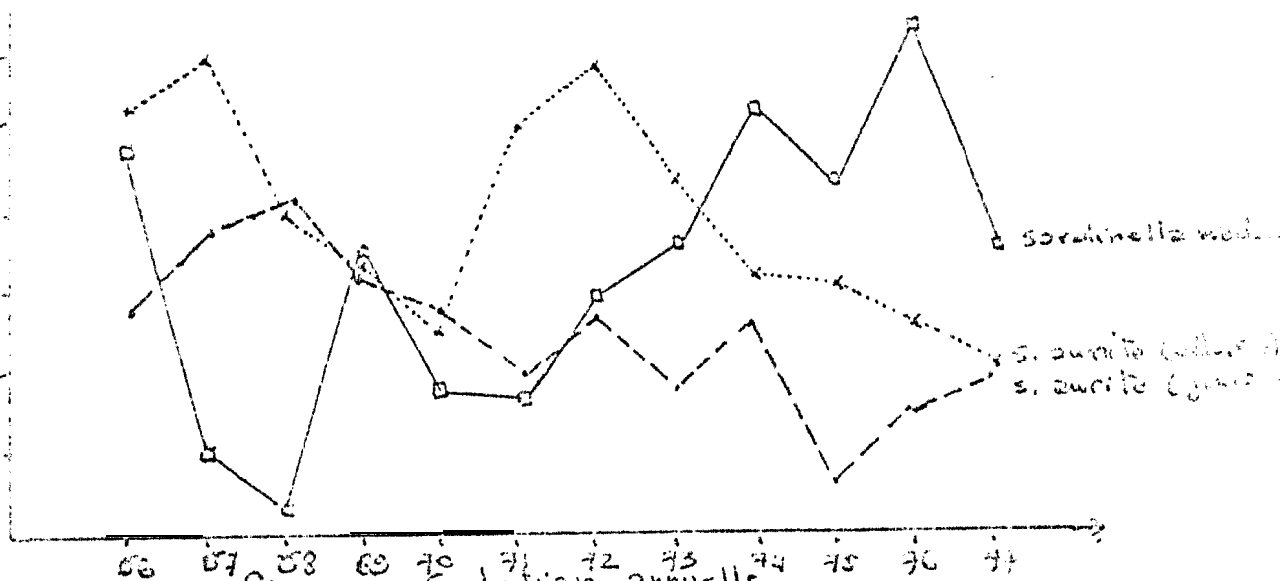


Fig. 16 : Evolution annuelle de PUC des principales espèces pour les Sorahinier saloum (d'après FREON et al 1978)

#### 4. P O T E N T I A L I T E S

La production potentielle est une notion fondamentale qui définit la production maximale possible non préjudiciable aux autres exploitations.

#### 4.1. LES METHODES D'EVALUATION DU POTENTIEL DE CAPTURE

##### 4.1.1. Les méthodes directes

Celles-ci nécessitent l'établissement de modèles. Certains nécessitent également des données statistiques simples concernant les captures et les efforts de pêche. L'espèce considérée doit être l'objet d'une exploitation par une pêcherie prédominante ; les autres pêcheries, s'il y en a, doivent être secondaires et stables. A partir de modèles biologiques, il est possible d'obtenir des modèles plurisectoriels pour l'évaluation de l'exploitation.

##### 4.1.2. Les méthodes indirectes

La production potentielle est déterminée en fonction de la biomasse et du taux de mortalité selon la formule :

$$P = B \times Z$$

(P = la production potentielle ; B = la biomasse et Z = le taux de mortalité).

#### 4.2. CASSE D'APPLICATION DE LA METHODE DIRECTE

Cette méthode ne peut s'appliquer isolément à la zone de Sine-Saleum ; il faudrait considérer cette zone dans le cadre de l'ensemble de la petite côte. En effet : - les espèces présentes dans les eaux marines de Sine-Saleum font partie de stocks à répartition géographique large que cette région. La limitation de la région étudiée ne conforme à la réalité biologique ;

- les efforts de pêche des flottilles de la pêche industrielle dans la zone marine de Sine-Saleum se rapportent à l'ensemble de la pêche sur la petite côte sans limite, ce qui pour une surface couvrant environ la moitié de celle de la petite côte.

Même même pour l'ensemble de la petite côte l'application de cette méthode se heurte à des difficultés diverses :

- l'existence de migrations saisonnières fait que pour les données recueillies par ce phénomène, le potentiel de production d'une région dépend de leurs captures dans les régions voisines et de la durée de leurs séjours dans la région considérée.

- les séries chronologiques des statistiques de la pêche artisanale sont éparpillées ; seules, celles de la pêche industrielle décentralisée sont disponibles.

- Par ailleurs, pour les données de la pêche étrangère dans les eaux marines de la zone de Sine-Saleum, certaines de ces références sont en plus publiées (FREUN et al., 1978). L'effort de ces flottilles d'exportation

pour les espèces démersales et sur les adultes d'espèces pélagiques et que les jeunes sont la grande composante du stock de la pêche artisanale, expliquent ainsi en amont de sa pèche.

- D'importants changements ont eu lieu : . les prises de la pêche pélagique artisanale sont devenues depuis 1973 plus importantes que celles de la pêche pélagique industrielle ;

. modification des espèces ciblées pour la pêche démersale, avec l'entrée en pêche des mollusques et crustacés dont les espèces ciblées sont les cephalopodes, et pour la pêche pélagique artisanale du fait du remplacement des filets dérivants dérivants par les sennes tournantes dont l'espèce cible est surtout le maquereau et dont les rendements pour l'ensemble de la prise sont plus importants.

. pour la pêche démersale, les prises constituées d'espèces non recherchées et de jeunes d'espèces exploitées, apparemment importants, ont diminué.

- la grande variabilité de recrutement des petites pélagiques s'explique par les conditions hydroclimatiques dans la région (RDB et al., 1970).

Pour toutes ces raisons l'application de cette méthode à la côte de la région ne se justifie pas; le résultat ne serait pas significatif. En outre, les tendances à long terme des prises artisanales et industrielles sont d'interprétation difficile. Une tentative dans ce sens sera néanmoins faite, pour essayer de dégager les tendances générales évolutives des principales espèces.

### 4.3. LES TENDANCES EVOLUTIVES :

Les tendances évolutives ont été dégagées à partir des données de la pêche industrielle.

#### 4.3.1. Les espèces pélagiques

##### 4.3.1.1. *Sardinella aurata*

Pour les adultes, la pue a été établie à partir des prises de la pêche industrielle où ils sont présentes (FRANCK et al., 1970). (Fig. 16) La tendance est à la baisse avec des fluctuations selon les années. Elle peut être attribuée à l'augmentation de l'effort de pêche dirigé sur cette espèce aussi bien par les pêcheurs sénégalais que par la pêche étrangère.

Pour les jeunes, étant présents toute l'année, le calcul de la pue est basé sur l'effort total annuel. La tendance générale est à la baisse depuis 1967, avec des fluctuations attribuables aux variations de recrutement (liées aux conditions hydroclimatiques).

##### 4.3.1.2. *Sardinella maderensis*

Pour cette espèce, présente toute l'année, le calcul de la pue est basé sur l'effort total annuel. Les rendements sont en très nette diminution bien que l'effort s'accroisse rapidement. Cette tendance peut s'expliquer par une diminution du rendement de *S. maderensis* devant un report de l'effort sur *S. maderensis*, devenue plus abondante à la suite du remplacement massif dans la pêche artisanale

de filets maillants encerclants par les zones littorales.

#### *Merluccius jubelini*

Le rendement optimal équilibré a été évalué à 1400 t par an pour un effort optimal correspondant de 400 jours de pêche (DOMINIQUE et al., 1977). Cet effort a été largement dépassé expliquant la chute des captures. Cette espèce est donc menacée.

#### *Merluccius merluccius*

Les prises les plus importantes sont à l'actif de la pêche artisanale et de la pêche artisanale à la ligne sont négligeables. Si on se base à partir uniquement des données de la pêche des professionnels de la démersale n'est pas significative. Une tendance évolutive à la baisse peut être cependant retenue (FRELIN et al., 1978).

Pour les autres espèces les tendances évolutives ne peuvent être appréciées ; peu recherchées, les captures des professionnels sont de ce fait faibles.

### 3.2. Les espèces démersales

La détermination des tendances évolutives spécifiques n'a pu être faite en raison des difficultés d'interprétation de certaines données statistiques (données regroupant certaines espèces)

La tendance évolutive globale se fait, quand à elle, apparaître dans le sens de l'augmentation (~~de~~). Cette évolution est due en partie au reflet de l'entrée en pêche d'unités nouvelles, de la réduction des rejets et l'orientation de la pêche vers de nouvelles zones.

### 3.4. BISMARQUES

La biomasse moyenne a été évaluée pour l'ensemble sud Sud-Ouest à 135 t par mille carré (MARCHAL et al., 1977). La biomasse totale est alors pour la petite côte approximative de 370 000 t.

#### 3.4.1. Les espèces pélagiques

Les espèces pélagiques occupent environ 15 % de la biomasse totale (MARCHAL et al., 1977 ; DOMINIQUE et al., 1978) soit de l'ordre de 55 000 t. L'âge moyen de ces espèces est de 2 ans et le taux de mortalité  $Z$  de 0,4 (MARCHAL et al., 1977), la production potentielle est de 110 000 t.

#### 3.4.2. Les espèces démersales

Les espèces démersales occupent 20 % de la biomasse totale soit une biomasse de 80 000 t. L'âge moyen pour les espèces démersales est de 4 ans (DOMAIN, 1974), la production potentielle est de 16 000 t. Il faut préciser que la biomasse totale est établie à partir des échelles d'écho-intégration et ne tient donc pas compte des espèces

caractères bathyques. Elle peut être donc considérée comme bathy-

que. Nous avons tenté, quant à nous, une estimation de la biomasse par les indices d'abondance pour la zone du lac-Saint-Jacques. Les indices d'abondance moyens obtenus lors des trois campagnes effectuées. Nous obtenons une biomasse moyenne de 2360 kg par mille carré, donc environ le tiers de la valeur trouvée à partir de la méthode d'échantillonnage (29 700 kg par mille carré). Ce résultat n'est donc pas significatif pour l'année si l'on considère :

1. La biomasse a été établie à partir des indices d'abondance pour deux eaux inter-saison et la saison chaude (par conséquent, pas de saison froide). Or les biomasses les plus élevées sont obtenues en saison chaude (MARCHAL et al., 1977) et d'ailleurs, les indices d'abondance les plus bas sont ceux de la campagne de septembre.

2. Les erreurs inhérentes à l'échantillonnage liées : - au type de matériel utilisé (à faible volume échantillonné) entraînant une sous-estimation pour les espèces macrobenthiques dont l'aplanis platy, le limpulus et deux macrophtalques qui sont les espèces les plus représentées des poissons démersaux (MARCHAL et al., 1977).

- au phénomène saisonnier en lui-même qui nécessitait pour un échantillonnage représentatif des missions fréquentes et échelonnées sur toute l'année, ce qui n'a pas été le cas.

- à l'existence de variations nyctémérales et de variations saisonnières des courants bathymétriques. Des impératifs de temps nous ont empêchés d'échantillonner à différents points d'échantillonnage. Il en résulte que les échantillons tirés lors des tranches horaires des échantillonnages effectués dans une même tranche bathymétrique, d'une campagne à l'autre.

En raison des considérations conduisant à une sous-estimation de la biomasse effectuée lors des trois campagnes, la conclusion est que l'estimation des indices d'abondance expliquant la faible valeur de la biomasse trouvée

1. Pour établir une biomasse aussi valable que possible à partir de ces indices d'abondance, les échantillonnages doivent être plus représentatifs que possible. Pour cela il s'impose de multiplier les campagnes et dans les mêmes conditions aux échantillonnages ; que l'échantillonnage soit fréquent dans l'année et porteur sur plusieurs années, les périodes d'échantillonnage devant correspondre, dans l'année à l'autre aux mêmes conditions hydrologiques, et dans le lac à grande ouverture.

### 4.4.3. Les biomasses spécifiques

La partition spécifique de la biomasse pour des espèces particulières est saison ou comportement variable des espèces, des variations saisonnières et nyctémérales. De ce fait, elle ne peut être que très approximative.

de KAMMAL et al. (1977) ont tenté une répartition spatiale de ces éléments. Les éléments importants de la biomasse sont les sardiniers, les chinchards, les pilons pour les espèces pélagiques ; les poissons, épeps boops et *O. stax* sp. pour les espèces démersales.

#### 11.2. CONCLUSION

La biomasse d'une population établie à partir des données de pêche, ne peut être qu'approximative. Les différences de taille, de répartition des espèces composantes et la dimension importante des indices d'abondance autour de leur moyennes et de leur écart standard, et la limite de confiance de la biomasse ainsi évaluée n'est pas connue.

La considération des potentiels de production à partir de données de 1977 implique la production comme à ce jour, le résultat d'un effort de pêche sur la petite côte, qui devrait, en outre, tenir compte de l'évolution de l'effort de pêche dans les années de la décennie d'ailleurs, intéressant d'apprécier les éventuels effets de l'augmentation importante des prises en 1978 et 1979 dans d'autres zones de la petite côte (Doui et N'bozi) et les changements des sardiniers dakarais.

Les autres espèces peu exploitées, forment une niche qui pourrait supporter un accroissement de l'effort de pêche. Les limites encore relativement larges (Boopis, Boopis, Boopis, Boopis). une orientation de l'exploitation vers elles pourrait s'envisager.





B I B L I O G R A P H I E

BOUAFIA (F.), 1970.- Les ressources en poissons pélagiques de la zone d'affinité entre la Mauritanie et la Fleuve Sénégal. *Ann. Inst. Océanogr.*, sous presse.

BOUAFIA (F.), WYSOCKIASKI (A.), FLEBERTOWSKI (S.), 1973.- Les poissons pélagiques sénégalaises et mauritanaises : faune, répartition, abondances. *Doc. Scient. Centre Rech. Océanogr. Dakar-Thiaroye*, 17, 87 p. multigr.

BOUAFIA (F.) et BOUMAIR (F.), 1975.- Migrations des poissons pélagiques le long des côtes ouest-africaines. *Doc. Sci. Centre Rech. Océanogr. Dakar-Thiaroye*, 19, 100 p. multigr.

BOUMAIR (F.), 1975.- Etude géocéanologique de la plaine littorale du Sénégal (Iles du Saloum ; Sénégal). *Travail de fin d'études et de recherche. Maîtrise de Géographie. Univers. de Dakar*, 100 p., multigr.

BOUMAIR (F.), 1974.- Première estimation de la biomasse et de la production potentielle en poissons pélagiques du plateau continental sénégalais (région sénégalaise entre le cap Faidherbe et le cap Verde). *Doc. Scient. Centre Rech. Océanogr. Dakar-Thiaroye*, 13, 22 p. multigr.

BOUMAIR (F.), 1974.- Les fonds de la pêche du plateau continental sénégalais entre 17° N et 12° N. *Doc. Scient. Centre Rech. Océanogr. Dakar-Thiaroye*, 11, 61 p. multigr.

BOUMAIR (F.), 1977 a.- Carte sédimentologique du plateau continental sénégalais. Extension à une partie du plateau continental de la Mauritanie et de la Guinée-Bissau. *GESMAR, Gênes* (à paraître).

BOUMAIR (F.), 1977 b.- Description de la sédimentologie fine de certaines sections relevées du plateau continental ouest-africain entre 17° N et 12° N. *Ass. Sénégal Afr. Quatern. Afr., Bull. Méditerran. Géol.*, 58, 12 - 22.

BOUMAIR (F.), 1976.- Contribution to a survey on ICMAF in Senegal. *Univ. Liverpool. ICMAF Res. Doc.*, 12, 11 p. multigr.

BOUMAIR (F.), STEGERT (B.) et PÉREY (T.), 1975.- La pêche des poissons pélagiques côtiers des Fleuves Sénégal au nord de la Mauritanie : description et interactions des pêcheries. *Doc. Scient. Centre Recherche Océanogr. Dakar-Thiaroye*, 17,

BOUMAIR (F.), STEGERT (B.), LE PHILIPPE (V.) et PÉREY (T.), 1976.- Répartition et abondance des poissons pélagiques côtiers du plateau continental sénégalais (évaluée par écho-intégration en avril-mai 1976 (campagne CIP 7005)). *Doc. Scient. Centre Recherche Océanogr. Dakar-Thiaroye*, 18, 37 p. multigr.

BOUMAIR (F.), 1974.- Biologie et pêche de *Parurus paracerasus* sur les côtes du Sénégal. *Doc. Scient. Centre Recherche Océanogr. Dakar-Thiaroye*, 17, 29 p. multigr.

BOUMAIR (F.) et AMBARDI (B.), 1971.- Biologie et pêche du "Compass" *Homarus* (Mollusque) des côtes sénégalaises. *Doc. Scient. Centre Recherche Océanogr. Dakar-Thiaroye*, 3, 17 p. multigr.

12. MARIÉ (P.), 1972.- Recherches sur les poissons de la pêche artisanale de la "Bouana" (Mauritanie) dans le delta du fleuve Sénégal. Centre Rech. Océanogr. Dakar-Thiaroye, 11, 28 p. multigr.
13. MARIÉ (P.), 1974.- Recherches sur les poissons de la pêche artisanale de la "Bouana" (Mauritanie). Océanogr. Res. Doc., 96, 28 p. multigr.
14. MARIÉ (P.) et RUMPLWISYI (A.), 1972.- A study on marine fishes from the North west africa region. Acta Ichthyol. et Piscic., 11, 17-30.
15. MARIÉ (P.) et MBIY (T.), 1977.- Evaluation économique de la pêche artisanale de poissons de littoral continental Ouest-est de la Côte d'Ivoire (11° N) à la pointe Sta. Pairs (25° E). Cah. Océanogr., Ser. Océanogr., 15 (2), 19-161.
16. MARIÉ (P.), 1979.- Les poissons de littoral de la Côte d'Ivoire. Océanogr. Ser. Océanogr., 25 p. multigr.
17. MARIÉ (P.) et MBIY (T.), 1977.- Observations sur les poissons de littoral continental Ouest-est de la Côte d'Ivoire. Océanogr. Ser. Océanogr., 15 (2), 19-161.
18. MARIÉ (P.) et ABUSSAÏAN (M.T.), 1965.- Hydrologie marine de la région de la Côte d'Ivoire. Contribution à l'étude de la production de poissons. Centre de Recherche Océanogr. Dakar-Thiaroye.
19. MARIÉ (P.) et COMBO (P.), 1976.- A study on littoral fishes (PISCIFORMES) in the Senegambian region. 3 rd part: the Senegambian littoral in the gambian waters. Doc Scient. Centre Rech. Océanogr. Dakar-Thiaroye, 99, 19 p. multigr.
20. MARIÉ (P.), 1975.- Étude de la biologie et de la dynamique des poissons de littoral de la Côte d'Ivoire. Thèse univ. Bretagne Occidentale, 195 p. multigr.
21. MARIÉ (P.), 1978.- Biologie et dynamique des poissons de littoral continental Sénégalais. Biologie de l'écologie des poissons de littoral (Sénégal, 1972). Thèse univ. Bretagne Occidentale, 195 p. multigr.